

LATITUDE INTEGRATION IDCO-SPEZIFIKATION

**LATITUDE™**

LATITUDE Patienten-Management-System

Остаряла версия. Да не се използва.  
Zastaralá verze. Nepoužívat.  
Forældet version. Må ikke anvendes.  
Version überholt. Ärge kasuttu.  
Aegunud versioon. Mην την χρησιμοποιήσετε.  
Παλιά έκδοση. Μην την χρησιμοποιήσετε.  
Outdated version. Do not use.  
Version obsolete. Ne pas utiliser.  
Zastarjela verzija. Nemojte upotrebljavati.  
Úreлт útгáfa. Notið ekki.  
Versione obsolete. Non utilizzare.  
Zastarjela verzija. Neizmantot.  
Úreлт útгáfa. Notið ekki.  
Novcojusi versija. Nenaudokite.  
Pasenusi versija. Ne használja!  
Elavult verzió. Ne használja!  
Dit is een verouderde versie. Niet gebruiken.  
Utdatert versjon. Skal ikke brukes.  
Wersja przeterminowana. Nie używać.  
Versão obsoleta. Não utilize.  
Zastaraná verzia. Nepoužívat.  
Zastarela različica. Ne uporabite.  
Vanhentunut versio. Älä käytä.  
Föråldrad version. Använd ej.  
Güncel olmayan sürüm. Kullanmayın.

Остаряла версия. Да не се използва.  
Zastaralá verze. Nepoužívát.  
Forældet version. Må ikke anvendes.  
Version überholt. Nicht verwenden.  
Aegunud versioön. Myn þyn Χρησιμοποιείτε.  
Παλιά έκδοση. Μην την Χρησιμοποιείτε.  
Outdated version. Do not use.  
Version obsoleta. No utilizar.  
Zastarjela verzija. Nemojte upotrebljavati.  
Úrelt útgáfa. Notið ekki.  
Versione obsoleta. Non utilizzare.  
Zastarjela verzija. Neizmantot.  
Novcojusi versija. Nenaudokite.  
Pasenusi versija. Ne használja!  
Elavult verzió. Ne használja!  
Dit is een verouderde versie. Niet gebruiken.  
Utdatert versjon. Skal ikke brukes.  
Wersja przeterminowana. Nie używać.  
Versão expiratã. A nu se utiliza.  
Zastaraná verzia. Nepoužívát.  
Zastarela različica. Ne uporabite.  
Vanhentunut versio. Älä käytä.  
Föråldrad version. Använd ej.  
Güncel olmayan sürüm. Kullanmayın.

## ÜBER DIESE GEBRAUCHSANWEISUNG

---

Das Boston Scientific LATITUDE-Patientenfernüberwachungssystem erstellt IDCO (Implantable Device – Cardiac – Observation) Nachrichten gemäß den in diesem Dokument dargelegten Spezifikationen und Definitionen. Die Nachrichten sind mit dem Integrating the Healthcare Enterprise (IHE) Patient Care Device (PCD) Technical Framework IDCO-Profil konform. Diese Nachrichten dienen zur Übermittlung von Patientendaten an ein elektronisches Krankenaktensystem (EMR = Electronic Medical Record).

Das vorliegende Dokument ist für LATITUDE-Kunden von Boston Scientific (BSC) bestimmt, die (1) IDCO-Nachrichten in ein EMR-System integrieren und (2) EMR-Systeme zur Nachverfolgung und Verwaltung von Patientendaten verwenden.

Der erste Abschnitt dieses Dokuments („LATITUDE IDCO-Nachrichtenspezifikation“) richtet sich in erster Linie an technisches Personal, das mit der Nachrichtenintegration befasst ist. Der zweite Abschnitt („Konvertierung der Daten von implantierten Geräten zu IDCO-Nachrichten“) ist in erster Linie für den klinischen Anwender gedacht, um die Boston Scientific-Version der in der Nachricht enthaltenen Daten weiter zu präzisieren.

**HINWEISE:** Es wird vorausgesetzt, dass die Leser dieses Dokuments mit der HL7- und IDCO-Terminologie, der Spezifikationssyntax, den Datentypen und den Nachrichtenstrukturen sowie mit der Semantik für IDCO-Nachrichten vertraut sind. Weitere Informationen finden Sie unter:

- [www.hl7.org](http://www.hl7.org) für HL7-Nachrichtenübermittlung
- [www.ihe.net](http://www.ihe.net) für IDCO-Nachrichtenübermittlung
- [http://ihe.net/Technical\\_Framework/index.cfm#pcd](http://ihe.net/Technical_Framework/index.cfm#pcd) für den technischen Rahmen von PCD-09 (besteht aus Vol. 1, 2 und 3)
- <http://standards.ieee.org/findstds/standard/11073-10103-2012.html> für IEEE IDCO-Nomenklatur

Die Folgenden sind Marken der Boston Scientific Corporation oder ihrer Tochtergesellschaften: LATITUDE, LATITUDE Clarity und RHYTHMIO.

Остаряла версия. Да не се използва.  
Zastaralá verze. Nepoužívát.  
Forældet version. Må ikke anvendes.  
Version überholt. Nicht verwenden.  
Aegunud versioön. Myn þyn Χρησιμοποιείτε.  
Παλιά έκδοση. Μην την Χρησιμοποιείτε.  
Outdated version. Do not use.  
Version obsoleta. No utilizar.  
Zastarjela verzija. Nemojte upotrebljavati.  
Úrelt útgáfa. Notið ekki.  
Versione obsoleta. Non utilizzare.  
Zastarjela verzija. Neizmantot.  
Novcojusi versija. Nenaudokite.  
Pasenusi versija. Ne használja!  
Elavult verzió. Ne használja!  
Dit is een verouderde versie. Niet gebruiken.  
Utdatert versjon. Skal ikke brukes.  
Wersja przeterminowana. Nie używać.  
Versão expiratã. A nu se utiliza.  
Zastaraná verzia. Nepoužívát.  
Zastarela različica. Ne uporabite.  
Vanhentunut versio. Älä käytä.  
Föråldrad version. Använd ej.  
Güncel olmayan sürüm. Kullanmayın.

# INHALTSVERZEICHNIS

<b>LATITUDE IDCO-NACHRICHTENSPEZIFIKATION</b> .....	<b>1-1</b>
<b>KAPITEL 1</b>	
Latitude Nachrichtenspezifikation.....	1-2
Segmentstruktur.....	1-2
MSH-Segmentstruktur.....	1-2
PID-Segmentstruktur.....	1-2
Standardmäßige IDCO-Patienten-ID (erste ID in der Liste).....	1-2
Latitude-Patienten-ID (zweite ID in der Liste).....	1-2
PV1-Segmentstruktur.....	1-3
PV2-Segmentstruktur.....	1-3
OBR-Segmentstruktur.....	1-3
OBX-Segmentstruktur.....	1-3
Ausgabeparameter.....	1-4
NTE-Segmentstruktur.....	1-4
Berichte.....	1-5
Konfiguration.....	1-5
Eingangs-EGM/S-EKG-Bericht.....	1-6
Ereignisdetailbericht.....	1-6
Kombinierter Nachkontrollbericht.....	1-6
Bericht Arrhythmie-Logbuch.....	1-7
Bericht Herzinsuffi. Management.....	1-7
Bericht zur Nachkontrolle.....	1-7
Berichtnamen in der Meldung.....	1-7
Grundlegende Begriffe.....	1-7
<b>KONVERTIERUNG DER DATEN VON IMPLANTIERTEN GERÄTEN ZU IDCO-NACHRICHTEN</b> .....	<b>2-1</b>
<b>KAPITEL 2</b>	
Batteriestatus.....	2-2
SET_BRADY_SENSOR_TYPE.....	2-2
Zonentyp-Zuordnung.....	2-2
Episoden-Mapping.....	2-3
Zähler-Mapping.....	2-5
Elektrodenkonfiguration-Mapping.....	2-7
Systemeinschränkungen.....	2-8
Definitionen für Alarme und Warnungen.....	2-8
<b>IDCO-BEISPIELDATEIEN</b> .....	<b>3-1</b>
<b>KAPITEL 3</b>	

IDCO-Beispieldateien .....	3-2
Beispiel-Nachricht 1 – S-ICD-Gerät.....	3-2
Beispiel-Nachricht 2 – ICM-Gerät .....	3-4
Beispiel-Nachricht 3 – Andere Therapiegeräte (nicht S-ICD) .....	3-7
<b>VERWENDETE SYMBOLE AUF ETIKETTEN.....</b>	<b>A-1</b>
<b>ANHANG A</b>	

Остаряла версия. Да не се използва.  
 Zastaralá verze. Nepoužívat.  
 Forældet version. Må ikke anvendes.  
 Version überholt. Nicht verwenden.  
 Aegunud versioón. Myn þyn Χρησιμοποιείτε.  
 Παλιά έκδοση. Μην την Χρησιμοποιείτε.  
 Outdated version. Do not use.  
 Versión obsoleta. Ne utilizar.  
 Version périmée. Ne pas utiliser.  
 Zastarjela verzija. Nemojte upotrebljavati.  
 Úreлт útgáfa. Notið ekki.  
 Versione obsoleta. Non utilizzare.  
 Pasenusi versija. Neizmantot.  
 Elavult verzió. Ne használja!  
 Utdatert versjon. Nenaudokite.  
 Wersja przeterminowana. Niet gebruiken.  
 Versão obsoleta. Não utilize.  
 Versiune expirată. A nu se utiliza.  
 Zastaraná verzia. Nepoužívat.  
 Zastarela različica. Nie używać.  
 Vanhentunut versio. Älä käytä.  
 Föråldrad version. Använd ej.  
 Güncel olmayan sürüm. Kullanmayın.

# LATITUDE IDCO-NACHRICHTENSPEZIFIKATION

---

## KAPITEL 1

Dieses Kapitel enthält die folgenden Themen:

- "Latitude Nachrichtenspezifikation" auf Seite 1-2
- "Segmentstruktur" auf Seite 1-2
- "MSH-Segmentstruktur" auf Seite 1-2
- "PID-Segmentstruktur" auf Seite 1-2
- "PV1-Segmentstruktur" auf Seite 1-3
- "PV2-Segmentstruktur" auf Seite 1-3
- "OBR-Segmentstruktur" auf Seite 1-3
- "OBX-Segmentstruktur" auf Seite 1-3
- "Ausgabeparameter" auf Seite 1-4
- "NTE-Segmentstruktur" auf Seite 1-4
- "Berichte" auf Seite 1-5
- "Grundlegende Begriffe" auf Seite 1-7

## LATITUDE NACHRICHTENSPEZIFIKATION

Die LATITUDE IDCO-Nachricht ist eine PCD-09-Nachricht für IHE PCD Technical Framework Revision 3.0, 11. Oktober 2013. Für Technical Framework ist die Nachricht eine Standard-HL7 v2.6-Nachricht mit unangeforderten Bestellungen und Untersuchungen, die vom implantierten Gerät durchgeführte Untersuchungen enthält und mit der ISO/IEEE 11073-10103:2014 IDC-Nomenklatur codiert wurde. Dieser internationale Standard beschreibt ein universelles Modell für die Kompatibilität elektronischer medizinischer Daten.

Werte, die in den nachfolgenden Tabellen in Anführungszeichen gesetzt sind, sind fest codiert und erscheinen immer wie dargestellt. Werte ohne Anführungszeichen stellen entweder ein Beispiel oder eine Beschreibung des Werts dar.

### SEGMENTSTRUKTUR

Alle gesendeten Daten gelten für PCD-09. Die in diesem Abschnitt enthaltenen Informationen sollen die BSC-Ausgabe für IDCO-Nachrichten definieren. Diese Informationen sind nicht vollständig, und dienen nicht dazu, die IDCO-Nomenklatur näher zu definieren.

### MSH-SEGMENTSTRUKTUR

Das MSH-Segment enthält Informationen über den Sender und Empfänger der Nachricht, den Nachrichtentyp, einen Zeitstempel usw. und ist das erste Segment der IDCO-Nachricht.

NAME DES ELEMENTS	SEQ	SUB SEQ	WERT
Sendende Anwendung	3		„LATITUDE“
Sendende Einrichtung	4		„BOSTON SCIENTIFIC“
Empfangende Einrichtung	6		LATITUDE Krankenhausname
Zeichensatz	18		„UNICODE UTF-8“

### PID-SEGMENTSTRUKTUR

Das PID-Segment enthält Daten zur Patientenidentifizierung wie Name, ID-Code, Postleitzahl usw. Diese Informationen werden für den Patientenabgleich verwendet.

LATITUDE ermöglicht es Krankenhäusern, (optional) ihre eigenen Patienten-IDs in das LATITUDE-System einzugeben. Die exportierte IDCO-Nachricht enthält die optionale Patienten-ID. Bei Verwendung erscheint diese krankenhausdefinierte Patienten-ID in der Patientenkenntnisliste (Sequenz 3) als Text nach dem Tildezeichen (~).

### Standardmäßige IDCO-Patienten-ID (erste ID in der Liste)

NAME DES ELEMENTS	SEQ	SUB SEQ	WERT
Patienten-ID	3		
Zuweisende Stelle	3	4	„BSX“

### Latitude-Patienten-ID (zweite ID in der Liste)

NAME DES ELEMENTS	SEQ	SUB SEQ	WERT
Patienten-ID-Liste	3		
ID-Nummer	3	1	LATITUDE-Patienten-ID
Zuweisende Stelle	3	4	LATITUDE Krankenhausname
Code des ID-Typs	3	5	„U“



**Beispiel:**

```
PID|1|model:N119/serial:123456^^^BSX^U~{LATITUDE Patienten-ID} ^^  
{LATITUDE Krankenhausname}^U||PatientLastName^PatientFirstName  
^^^^^|19550116|U|...
```

**PV1-SEGMENTSTRUKTUR**

Das PV1-(Patientenbesuch-)Segment enthält Informationen zum behandelnden Arzt des Patienten.

NAME DES ELEMENTS	SEQ	SUB SEQ	WERT
Patientenklasse	2		„R“

**PV2-SEGMENTSTRUKTUR**

Das PV2-(Patientenbesuch 2-) Segment enthält Informationen zur LATITUDE-Gruppe des Patienten.

NAME DES ELEMENTS	SEQ	SUB SEQ	WERT
Name der Organisation (Gruppe)	23	1	LATITUDE-Gruppenname Beispiel: Kardiologie
ID-Nummer (primäre oder sekundäre Patientengruppe)		3	1 Siehe Hinweis a

a. Dieser Wert ist „1“, wenn die HL7-Datei mit der primären LATITUDE-Gruppe verknüpft ist, und „2“, wenn sie mit der sekundären LATITUDE-Gruppe verknüpft ist.

**OBR-SEGMENTSTRUKTUR**

OBR-Segmente sind die Abschnittsüberschriften für einzelne OBX-Abfrageinformationssegmente. Sie enthalten Daten wie Zeitstempel, Berichtkennung und eine einzigartige systemgenerierte Kennung.

NAME DES ELEMENTS	SEQ	SUB SEQ	BEISPIELWERT
Universelle Servicekennung	4		
Kennung		1	754053
Text		2	Siehe Hinweis a
Datum/Uhrzeit der Untersuchung Nr.	7		20060429080005+0000 Siehe Hinweis b
Ergebnisstatus	25		„F“ Siehe Hinweis c

- a. Der Text der universellen Servicekennung hat das Format MDC\_IDC\_ENUM\_SESS\_TYPE\_{Sitzungstyp} (z. B. MDC\_IDC\_ENUM\_SESS\_TYPE\_RemoteScheduled).
- b. „Datum/Uhrzeit der Untersuchung“ zeigt den Zeitstempel der Abfrage des implantierten Aggregats an. Der Zeitstempel befindet sich in der Zeitzone, die für den Patienten eingerichtet wurde.
- c. Der Ergebnisstatus lautet „F“ (Endergebnisse).

**OBX-SEGMENTSTRUKTUR**

OBX-Segmente enthalten Daten, die während der letzten Geräteabfrage gesammelt wurden.

NAME DES ELEMENTS	SEQ	SUB SEQ	WERT
Status des Untersuchungsergebnisses	11		„F“ Siehe Hinweis a
Datum/Uhrzeit der Untersuchung	14		20060317170000+0000 Siehe Hinweis b

- a. Der Ergebnisstatus lautet „F“ (Endergebnisse).  
b. Das Datum der Messung wird angegeben, wenn das Messungsdatum vom Untersuchungsdatum im OBR abweicht.

## AUSGABEPARAMETER

- Die Zeichenfolgen werden in der Sprache gesendet, die für die Klinik in LATITUDE konfiguriert wurde.
- Zahlenwerte werden immer mit dem Punkt „.“ als Radixpunkt (Dezimalpunkt) gesendet.

## NTE-SEGMENTSTRUKTUR

- ICM-Geräte
  - Wenn ein Zustand mit deaktivierter Überwachung vorliegt, geht das entsprechende NTE einem oder mehreren Alarm-NTEs voraus. Ein NTE mit deaktiviertem Überwachungszustand enthält einen oder mehrere deaktivierte Überwachungszustände in einem NTE.
  - Wenn es einen Ereignis-Alarm gibt, gibt es ein NTE für die Zählung des Ereignis-Alarms. Beispiel:  
NTE|3|2 rote Ereignis-Alarmer, 3 gelbe Ereignis-Alarmer
  - Wenn es einen anderen Alarm als den Ereignis-Alarm gibt, gibt es ein NTE für jeden Alarm.
- S-ICD-Geräte
  - Wenn es eine Warnung gibt, geht ein Warnungs-NTE allen anderen NTEs voraus. Ein Warnungs-NTE enthält eine oder mehrere Warnungen in einem NTE.
  - Wenn es keine Warnung gibt und sich das Gerät in einem Modus befindet, in dem die Einstellungen nicht relevant sind (z. B. im MRT-Modus), enthält das erste NTE Informationen über den aktuellen Status des Geräts. Beispiel:  
NTE|1||Der Piepton ist derzeit deaktiviert.\.br|\|.br|Das Gerät befindet sich im MRT-Schutz-Modus.\.br|Startzeit: 4. Sep. 2015 00:45 CDT.\.br|Geplant Zeitlimit: 4. Sep. 2015 06:45 CDT.\.br|Nachdem der MRT-Schutz-Modus beendet wurde, ist die Therapie ON (eingeschaltet).
  - Wenn es keine Warnung gibt und sich das Gerät in einem Modus befindet, in dem die Einstellungen relevant sind, enthält das erste NTE Informationen über die Einstellungen im Format *Etikett:Wert*, wobei jede Einstellung durch einen Zeilenumbruch getrennt ist (\.br\). Beispiel:  
NTE|1||Wahrnehmungskonfiguration: Primär.\.br|Verstärkungseinstellung: 2X.\.br|Post Shock Pacing: ON
  - Wenn sich das Gerät in einem Modus befindet, in dem die Einstellungen relevant sind, aber der Piepton deaktiviert ist, enthält das erste NTE Informationen über die Einstellungen im Format *Etikett:Wert*, wobei jede Einstellung durch einen Zeilenumbruch getrennt ist (\.br\). Beispiel:  
NTE|1||Wahrnehmungskonfiguration: Primär.\.br|Verstärkungseinstellung: 2X.\.br|Post Shock Pacing: ON
  - Das zweite NTE enthält den Status „Piepton deaktiviert“.

- Wenn ein Alarm vorhanden ist, gibt es ein NTE für jeden Alarm.
- Alle anderen Geräte
  - Wenn eine Warnung vorhanden ist, wird ein Warnungs-NTE einem oder mehreren Alarm-NTEs vorangestellt. Ein Warnungs-NTE enthält eine oder mehrere Warnungen in einem NTE.
  - Wenn ein Alarm vorhanden ist, gibt es ein NTE für jeden Alarm.

## BERICHTE

### Konfiguration

Der Inhalt der IDCO-Nachricht ist über die LATITUDE-Website wie folgt konfigurierbar:

Konfigurationsoption	LATITUDE NXT		LATITUDE Clarity
	Herzschrittmacher, Defibrillator, CRT	S-ICD	ICM
Maximale Ausgangsdateigröße	X	X	X
Wann Daten gesendet werden	X	X	X
Bericht-Konfiguration			
PDFs enthalten	X	X	X
Einzelne oder mehrere PDFs	X	X	X
Welche Berichte sollen enthalten sein			X
Histogramme und Trends im Bericht zur Nachkontrolle			X
S-EKG bei Symptom + vom Gerät erkannte Episoden			X

- Maximale Ausgangsdateigröße: Die maximale Dateigröße der IDCO-Nachricht in MB; Ereignis-Detail-PDFs werden nicht in die Nachricht aufgenommen. Dies ist notwendig, um die maximale Dateigröße einzuhalten.
- Wann Daten gesendet werden:
  - LATITUDE NXT: Senden Sie Daten bei der Ankunft oder manuell.
  - LATITUDE Clarity: Senden Sie Daten bei Ankunft, manuell oder bei Entlassung; einzeln für jeden Grund (z. B. geplant, vom Patienten initiiert, täglich mit Alarm usw.).
- PDFs enthalten: Fügen Sie Berichts-PDFs in die Nachricht ein oder lassen Sie sie weg.
  - Einzelne oder mehrere PDFs: Wenn PDFs enthalten sind, fassen Sie alle Berichte in einer einzigen PDF zusammen oder senden Sie sie als einzelne PDFs.
- Welche Berichte sollen enthalten sein: Welcher der möglichen Berichte (Nachkontrolle, Eingangs-S-EKG, Ereignis-Detail) soll in die Nachricht aufgenommen werden?
- Histogramme und Trends im Bericht zur Nachkontrolle: Legt fest, ob Histogramme und Trends in die Berichte zur Nachkontrolle aufgenommen werden sollen.
- S-EKG bei Symptom + vom Gerät erkannte Episoden: Bei Episoden, bei denen Symptom + Gerät erkannt wurde, fügen Sie nur das vom Gerät erkannte S-EKG in die PDF-Datei ein oder fügen Sie das gesamte kombinierte Geräte- und Symptom-S-EKG ein.

Die folgenden Berichte können in einer IDCO-Nachricht für die Kategorien der implantierbaren Geräte enthalten sein:

Berichtstyp	LATITUDE NXT		LATITUDE Clarity
	Herzschrittmacher, Defibrillator, CRT	S-ICD	ICM
Kombinierte Nachsorge	X		
Arrhythmie-Logbuch	X	X	
Herzinsuffizienz-Management	X		
S-ICD-Überblick		X	
Eingangs-EGM/S-EKG	X	X	X
Ereignisdetailbericht	X	X	X
Nachsorge			X

### Eingangs-EGM/S-EKG-Bericht

Falls in der vom implantierten Gerät erhaltenen Nutzlast verfügbar, wird der Eingangs-EGM/S-EKG-Bericht als PDF an die Nachricht angehängt. Wenn die IDCO-Nachrichtenkonfiguration so eingestellt ist, dass separate PDF-Berichte gesendet werden, wird der PDF-Bericht mit der entsprechenden APMRT-Episode unter Verwendung der Gruppen-ID (OBX-4) für die APMRT-Episode verknüpft.

### Ereignisdetailbericht

Wenn eine oder mehrere Episoden in einer vom implantierten Gerät empfangenen Abfrage vorhanden sind, wird für jede Episode ein PDF des Ereignisdetailberichts gesendet. Wenn die IDCO-Nachrichtenkonfiguration so eingestellt ist, dass separate PDF-Berichte gesendet werden, wird jede PDF-Datei mit der entsprechenden Episodengruppe (MDC\_IDC\_EPISODE) unter Verwendung der Gruppen-ID (OBX-4) verknüpft. In dem Bemühen, die Größe der EMR-Datei und die Anzahl der in der Nachricht enthaltenen Episoden zu begrenzen, ist eine Episode nicht immer mit einer PDF-Datei verknüpft. Wenn die Anzahl der Episoden-PDFs begrenzt ist, wird das System versuchen, ein Gleichgewicht herzustellen, um sicherzustellen, dass PDFs mit höherer und einige Episodentypen mit niedrigerer Priorität einbezogen werden. Wenn die IDCO-Nachrichtenkonfiguration so eingestellt ist, dass separate PDF-Berichte gesendet werden, wird der Name der Episode, einschließlich der Episoden-ID, in die Nachricht aufgenommen (Details sind im Abschnitt „Berichtsnamen in der Nachricht“ in diesem Dokument zu finden). Beispiel:

```
OBX|18|CWE|739568^MDC_IDC_EPISODE_TYPE^MDC|2|754883
^MDC_IDC_ENUM_EPISODE_TYPE_Epis_ATAF^MDC|||||F
OBX|19|CWE|739600^MDC_IDC_EPISODE_VENDOR_TYPE^MDC|2|771078
^MDC_IDC_ENUM_EPISODE_VENDOR_TYPE_BSX-Epis_ATR^MDC|||||F
OBX|20|NM|739616^MDC_IDC_EPISODE_ATRIAL_INTERVAL_AT_DETECTION
^MDC|2|247|ms|||||F
OBX|21|NM|739712^MDC_IDC_EPISODE_DURATION^MDC|2|4|s|1|1|F
OBX|22|ED|18750-0^Bericht zur kardialen Elektrophysiologie^LN
^^ATR-44 - Ereignisdetailbericht
Bericht|2|Anwendung^PDF^^Base64^
{base 64-encodierte PDF hier}|||||F|||201606010918-0500
```

**HINWEIS:** Verwenden Sie für das Beispiel dasselbe Format, wie im Beispiel im Abschnitt „Berichtsnamen in der Meldung“ dargestellt.

### Kombinierter Nachkontrollbericht

Ein „Kombinierter Bericht zur Nachkontrolle“ ist als PDF-Datei an die Nachricht angehängt.

## Bericht Arrhythmie-Logbuch

Ein Arrhythmie-Logbuch-Bericht wird als PDF-Datei an die Nachricht angehängt.

## Bericht Herzinsuffi. Management

Ein Bericht zum Herzinsuffizienz-Management wird als PDF-Datei an die Nachricht angehängt.

## Bericht zur Nachkontrolle

Ein Bericht zur Nachkontrolle ist als PDF-Datei an die Nachricht angehängt.

## Berichtsnamen in der Meldung

Jedes OBX-Segment enthält den Berichtsnamen in OBX-3.5. Beispiel:

```
OBX|51|ED|18750-0^Kardialer elektrophysiologischer Bericht^LN^^
Kombinierter Nachkontrollbericht||Anwendung^PDF^^Base64^{base 64
kodierte PDF hier}|...
```

## GRUNDLEGENDE BEGRIFFE

In der nachfolgenden Tabelle sind die Nomenklatur-Begriffe aufgeführt, die in einer BSC IDCO-Nachricht enthalten sein können.

REFERENZ-ID PREPEND MDC IDC	Anzeigename
DEV	Implantierbares kardiales Gerät
_TYPE	Implantierbares kardiales Gerät – Typ
_MODEL	Implantierbares kardiales Gerät – Modell
_SERIAL	Implantierbares kardiales Gerät – Seriennummer
_MFG	Implantierbares kardiales Gerät – Hersteller
_IMPLANT_DT	Implantierbares kardiales Gerät – Implantationsdatum
_IMPLANTER	Implantierbares kardiales Gerät – Implantierender Arzt
_IMPLANTER_CONTACT_INFO	Implantierbares kardiales Gerät – Implantierender Arzt-Kontaktinformationen
_IMPLANTING EINRICHTUNG	Implantierbares kardiales Gerät – Implantationseinrichtung
LEAD	Implantierbare Elektrode – Attribute
_MODEL	Implantierbare Elektrode – Modell
_SERIAL	Implantierbare Elektrode – Seriennummer
_MFG	Implantierbare Elektrode – Hersteller
_IMPLANT_DT	Implantierbare Elektrode – Implantationsdatum
_POLARITY_TYPE	Implantierbare Elektrode – Polaritätstyp
_LOCATION	Implantierbare Elektrode – Position
_LOCATION_DETAIL_1	Implantierbare Elektrode – Position Detail 1
SESS	Abfragesitzung
_DTM	Abfragesitzung – Datum/Uhrzeit

_TYPE	Abfragesitzung - Typ
_CLINIC_NAME	Name des Krankenhauses
<b>MSMT</b>	<b>Messungen</b>
<b>_BATTERY</b>	<b>Batteriemessungen</b>
_DTM	Batterie - Datum und Uhrzeit der Messungen
_STATUS	Batteriestatus
_REMAINING_LONGEVITY	Batterie - Verbleibende Funktionsdauer
_REMAINING_PERCENTAGE	Batterie - Verbleibender Prozentsatz
<b>_CAP</b>	<b>Kondensator - Messungen</b>
_CHARGE_DTM	Kondensator - Datum/Uhrzeit der letzten Ladung
_CHARGE_TIME	Kondensator - Ladezeit
_CHARGE_TYPE	Kondensator - Ladetyp
_CHARGE_ENERGY	Ladeenergie
<b>LEADCHNL_[CHAMBER]</b>	<b>Elektrodenkanal - Messungen</b>
_DTM_[STRTEND]	Elektrodenkanal - Datum und Uhrzeit der Messungen
_LEAD_CHANNEL_STATUS	Elektrodenkanal - Status
<b>_SENSING</b>	<b>Elektrodenkanal - Detektionsmesswerte</b>
_INTR_AMPL_[MMM]	Elektrodenkanal - Detektion intrinsische Amplitude
_POLARITY	Elektrodenkanal - Detektionspolarität
<b>_PACING_THRESHOLD</b>	<b>Elektrodenkanal - Messungen Stimulationsreizschwelle</b>
_AMPLITUDE	Elektrodenkanal - Amplitude Stimulationsreizschwelle
_PULSEWIDTH	Elektrodenkanal - Reizschwellen-Impulsdauer Stimulation
_MEASUREMENT_METHOD	Elektrodenkanal - Messmethode Stimulationsreizschwelle
_POLARITY	Elektrodenkanal - Polarität Stimulationsreizschwelle
<b>_IMPEDANCE</b>	<b>Elektrodenkanal - Impedanzmessungen</b>
_VALUE	Elektrodenkanal - Impedanzwert
_POLARITY	Elektrodenkanal - Impedanzpolarität
<b>_LEADHVCHNL</b>	<b>Hochspannung-Elektrodenkanal - Messungen</b>
_DTM_[STRTEND]	Hochspannung-Elektrodenkanal - Datum/Uhrzeit
_IMPEDANCE	Hochspannung-Elektrodenkanal - Impedanz
_MEASUREMENT_TYPE	Hochspannung-Elektrodenkanal - Messungstyp
_STATUS	Hochspannung-Elektrodenkanal - Status
<b>SET</b>	<b>Einstellungen</b>

_CRT	<b>CRT-Einstellungen</b>
_LVRV_DELAY	CRT LV-RV-Verzögerung
_PACED_CHAMBERS	Ventrikuläre Kammern, die während der CRT-Stimulation stimuliert werden
<b>_LEADCHNL_[CHAMBER]</b>	<b>Elektrodenkanal-Einstellungen</b>
<b>_SENSING</b>	<b>Elektrodenkanal-Einstellungen – Detektion</b>
_SENSITIVITY	Elektrodenkanal-Einstellung Detektion – Empfindlichkeit
_POLARITY	Elektrodenkanal-Einstellung Detektion – Polarität
_ANODE_LOCATION [1..3]	Elektrodenkanal-Einstellung Detektion – Anodenposition
_ANODE_ELECTRODE [1..3]	Elektrodenkanal-Einstellung Detektion – Anodenterminal
_CATHODE_LOCATION [1..3]	Elektrodenkanal-Einstellung Detektion – Kathodenposition
_CATHODE_ELECTRODE [1..3]	Elektrodenkanal-Einstellung Detektion – Kathodenterminal
_ADAPTATION_MODE	Elektrodenkanal-Einstellung Detektion – Adaptionsmodus
<b>_PACING</b>	<b>Elektrodenkanaleinstellungen – Stimulation</b>
_AMPLITUDE	Elektrodenkanaleinstellung Stimulation – Amplitude
_PULSEWIDTH	Elektrodenkanaleinstellung Stimulation – Impulsdauer
_POLARITY	Elektrodenkanaleinstellung Stimulation – Polarität
_ANODE_LOCATION [1..3]	Elektrodenkanaleinstellung Stimulation – Anodenposition
_ANODE_ELECTRODE [1..3]	Elektrodenkanaleinstellung Stimulation – Anodenterminal
_CATHODE_LOCATION [1..3]	Elektrodenkanaleinstellung Stimulation – Kathodenposition
_CATHODE_ELECTRODE [1..3]	Elektrodenkanaleinstellung Stimulation – Kathodenterminal
_CAPTURE_MODE	Elektrodenkanaleinstellung Stimulation – Erfassungsmodus
<b>_BRADY</b>	<b>Brady-Einstellungen</b>
_MODE	Brady-Einstellungsmodus (NBG-Code)
_LOWRATE	Brady-Einstellung – Untere Grenzfrequenz
_SENSOR_TYPE	Brady-Einstellung – Sensortyp
_MAX_TRACKING_RATE	Brady-Einstellung – Maximale Trackingfrequenz
_MAX_SENSOR_RATE	Brady-Einstellung – Maximale Sensorfrequenz
_SAV_DELAY [HIGHLOW]	Brady-Einstellung – SAV-Verzögerung
_PAV_DELAY [HIGHLOW]	Brady-Einstellung – PAV-Verzögerung
_AT_MODE_SWITCH_MODE	Brady-Einstellung – Umschaltmodus AT-Modus

_AT_MODE_SWITCH_RATE	Brady-Einstellung – Umschaltfrequenz AT-Modus
<b>_TACHYTHERAPY</b>	<b>Tachy-Therapie-Einstellungen</b>
_VSTAT	Tachy-Therapie-Einstellungen – Ventrikulärer Status
<b>_ZONE</b>	<b>Zoneneinstellungen</b>
_TYPE	Zoneneinstellung – Typkategorie
_VENDOR_TYPE	Zoneneinstellung – Händlertyp-Kategorie
_STATUS	Zoneneinstellung – Status
_DETECTION_INTERVAL	Zoneneinstellung – Detektionsintervall
_DETECTION_DETAILS	Detektionsdetails
_TYPE_ATP [1..10]	Zoneneinstellung – ATP-Typ
_NUM_ATP_SEQS [1..10]	Zoneneinstellung – Anzahl von ATP-Sequenzen
_SHOCK_ENERGY [1..10]	Zoneneinstellung – Schockenergie
_NUM_SHOCKS [1..10]	Zoneneinstellung – Anzahl von Schocks
<b>STAT</b>	<b>Statistiken</b>
_DTM [STARTEND]	Statistik – Datum/Uhrzeit
<b>BRADY</b>	<b>Brady-Statistiken</b>
_DTM [STARTEND]	Brady-Statistik – Datum/Uhrzeit
_RA_PERCENT_PACED	Brady Statistik – RA-Prozent stimuliert
_RV_PERCENT_PACED	Brady Statistik – RV-Prozent stimuliert
<b>_AT</b>	<b>„Atrial Tachy“-Statistik</b>
_DTM [STARTEND]	Statistik zu atrialer Tachykardie – Datum/Uhrzeit
_BURDEN_PERCENT	Statistik zu atrialer Tachykardie – AT/AF Burden in Prozent
<b>_CRT</b>	<b>CRT-Statistiken</b>
_DTM [STARTEND]	CRT-Statistik – Datum/Uhrzeit
_LV_PERCENT_PACED	CRT-Statistik – LV-Prozent stimuliert
<b>_TACHYTHERAPY</b>	<b>Tachy-Therapie-Statistiken</b>
_SHOCKS_DELIVERED_RECENT	Letzte abgegebene Schocks
_RECENT_DTM [STARTEND]	Letztes Datum/letzte Uhrzeit
_SHOCKS_DELIVERED_TOTAL	Insgesamt abgegebene Schocks
_TOTAL_DTM [STARTEND]	Datum/Uhrzeit gesamt
_SHOCKS_ABORTED_RECENT	Letzte abgebrochene Schocks
_SHOCKS_ABORTED_TOTAL	Abgebrochene Schocks gesamt
_ATP_DELIVERED_RECENT	Letzte abgegebene ATP



_ATP_DELIVERED_TOTAL	Abgegebene ATP gesamt
<b>_EPISODE</b>	<b>Statistik Episode</b>
_TYPE	Episodenstatistik – Kategorietyt
_TYPE_INDUCED	Episodenstatistik – Typ induziert
_VENDOR_TYPE	Episodenstatistik – Händlertyp-Kategorie
_RECENT_COUNT	Episodenstatistik – Letzte Zählung
_RECENT_COUNT_DTM_[STRTEEND]	Episodenstatistik – Letztes Datum/letzte Uhrzeit
_TOTAL_ZÄHLER	Gesamtzahl
TOTAL_COUNT_DTM_[STRTEEND]	Datum/Uhrzeit gesamt
<b>EPISODE</b>	<b>Episode</b>
_ID	Episode – Kennung
DTM	Episode – Datum/Uhrzeit
_TYPE	Episodentyp – Kategorie
_TYPE_INDUCED	Episodentyp – Induziert-Markierung
_VENDOR_TYPE	Episode – Händlertyp-Kategorie
ATRIAL_INTERVAL_AT_DETECTION	Episode – Detektionsintervall Atrial
VENTRICULAR_INTERVAL_AT_DETECTION	Episode – Detektionsintervall Ventrikulär
_DETECTION_THERAPY_DETAILS	Episode – Details zu Detektion und Therapie
_DURATION	Episode – Dauer

Остаряла версия. Да не се използва.  
Zastaralá verze. Nepoužívát.  
Forældet version. Må ikke anvendes.  
Version überholt. Nicht verwenden.  
Aegunud versioön. Myn þyn Χρησιμοποιείτε.  
Παλιά έκδοση. Μην την Χρησιμοποιείτε.  
Outdated version. Do not use.  
Version obsoleta. Ne utilizar.  
Version périmée. Ne pas utiliser.  
Zastarjela verzija. Nemojte upotrebljavati.  
Úrejt útgáfa. Notið ekki.  
Versione obsoleta. Non utilizzare.  
Pasenusi versija. Neizmantot.  
Elavult verzió. Ne használja!  
Wersja przeterminowana. Niet gebruiken.  
Dit is een verouderde versie. Niet gebruiken.  
Utdatert versjon. Skal ikke brukes.  
Wersja przeterminowana. Nie używać.  
Versão expiratã. A nu se utiliza.  
Zastaraná verzia. Nepoužívát.  
Zastarela različica. Ne uporabite.  
Vanhentunut versio. Älä käytä.  
Föråldrad version. Använd ej.  
Güncel olmayan sürüm. Kullanmayın.

# KONVERTIERUNG DER DATEN VON IMPLANTIERTEN GERÄTEN ZU IDCO-NACHRICHTEN

## KAPITEL 2

Dieses Kapitel enthält die folgenden Themen:

- "Batteriestatus" auf Seite 2-2
- "SET\_BRADY\_SENSOR\_TYPE" auf Seite 2-2
- "Zonentyp-Zuordnung" auf Seite 2-2
- "Episoden-Mapping" auf Seite 2-3
- "Zähler-Mapping" auf Seite 2-5
- "Elektrodenkonfiguration-Mapping" auf Seite 2-7
- "Systemeinschränkungen" auf Seite 2-8
- "Definitionen für Alarme und Warnungen" auf Seite 2-8

## BATTERIESTATUS

Die aufgeführten Batterieparameter werden folgendermaßen dem BSC-Batteriestatus zugeordnet:

BSC-BATTERIESTATUS (ICM-Geräte)	BSC-BATTERIESTATUS (S-ICD-Geräte)	BSC-BATTERIESTATUS (Alle anderen Geräte)	IDCO-BATTERIESTATUS
OK	>10 % verbleibend für ERI	BOL	BOS
k. A.	<=10 % verbleibend für ERI	OY	MOS
RRT	ERI	ERI	RRT
EOL	EOL	EOL	EOS

Wenn ein implantiertes Gerät eingeschränkte Telemetrie erreicht, könnte der Batteriestatus entweder ERI oder EOL lauten. Beide Batteriestatus führen zu folgender Nachricht: ENUM\_BATTERY\_STATUS\_RRT (ERI) in MSMT\_BATTERY\_STATUS mit dem ERI-Zeitstempel in MSMT\_BATTERIE\_DTM. Dieser Zustand gilt nur für eingeschränkte Telemetrie und gilt nicht für ICM- oder S-ICD-Geräte.

## SET\_BRADY\_SENSOR\_TYPE

Der Sensortyp wird gesendet, wie in der nachfolgenden Tabelle dargestellt.

GESENDETER WERT FÜR SET_BRADY_SENSOR_TYPE VARIABLE BASIERT AUF DER EINSTELLUNG DES IMPLANTIERTEN GERÄTS	EINSTELLUNG IMPLANTIERTES GERÄT
„Akzelerometer“	Nur Akzelerometer
„Atem-Minuten-Volumen“	Nur AMV
„Akzelerometer + AMV“	Akzelerometer und AMV

Die obigen Werte werden nur gesendet, wenn die Frequenz vom Sensor gesteuert werden kann (d. h. sie werden nicht gesendet, wenn sich der Sensor in einem reinen Überwachungsstatus befindet).

Die obigen Werte werden gesendet, wenn die Frequenz im normalen Brady-Modus oder in ATR gesteuert werden kann (d. h. der Wert gibt nicht einfach nur den normalen Brady-Modus wieder).

Beachten Sie, dass „Nur ATR“ in Berichten angezeigt werden kann, wenn der ATR-Modus ein Modus mit Frequenzanpassung ist; der normale Brady-Modus bietet keine Frequenzanpassung. In diesem Fall wird der Text (z. B. „Akzelerometer“) weiterhin für den ATR-Modus gesendet. Der Benutzer kann den Brady-Modus und den ATR-Modus prüfen und festlegen, dass die Frequenzanpassung nur für ATR gilt.

## ZONENTYP-ZUORDNUNG

Die Zoneneinstellungen werden gesendet, wie in der nachfolgenden Tabelle dargestellt.

BSC ZONENTYP	IDCO-NORMATIVER ZONENTYP	HÄNDLERSPEZIFISCHER IDCO-ZONENTYP	HÄNDLERSPEZIFISCHER IDCO-ZONENTYP-CODE
VT	VT	BSX-Zone_VT	771137
VT-1	VT	BSX-Zone_VT-1	771138
VF	VF	BSX-Zone_VF	771139
Tachy	Für SSI-Geräte, wenn sich die Elektrode im folgenden Status befindet: • V - VT	Siehe Hinweis a	Siehe Hinweis a

BSC ZONENTYP	IDCO-NORMATIVER ZONENTYP	HÄNDLERSPEZIFISCHER IDCO-ZONENTYP	HÄNDLERSPEZIFISCHER IDCO-ZONENTYP-CODE
	<ul style="list-style-type: none"> <li>A - ATAF</li> <li>Unspezifiziert - VT</li> </ul>		
Schockzone	VF	BSX-Zone_VF	771139
Bedingte Schockzone	VT	BSX-Zone_VT	771137

a. Der händlerspezifische Zonentyp OBX ist in der Nachricht mit einem leeren Untersuchungswert enthalten.

Bei der ursprünglichen Überarbeitung der Nomenklatur hatten einige Zonentypen von Boston Scientific keine herstellerspezifischen Aufzählungen. Die herstellerspezifischen Aufzählungen und Codes sind jetzt reserviert. **Diese Codes sind für die zukünftige Verwendung reserviert** und werden unten aufgeführt, um Implementierern die Möglichkeit zu geben, diese Codes in ihr Design aufzunehmen.

BSC ZONENTYP	IDCO-NORMATIVER ZONENTYP	HÄNDLERSPEZIFISCHER IDCO-ZONENTYP	HÄNDLERSPEZIFISCHER IDCO-ZONENTYP-CODE
Schockzone	VF	BSX-Zone_Shock Zone	771144
Bedingte Schockzone	VT	BSX-Zone_Cond Schockzone	771145
Tachy	Für SSI-Geräte, wenn sich die Elektrode im folgenden Status befindet: <ul style="list-style-type: none"> <li>V - VT</li> <li>A - ATAF</li> <li>Unspezifiziert - VT</li> </ul>	BSX-Zone_Tachy	771146

## EPISODEN-MAPPING

Episoden, Zähler usw. werden relativ zu den Informationen gesendet, die in der Abfrage enthalten sind. Dieselben Informationen werden zu Anfang und in einer nachfolgenden erneuten Sendung gesendet, auch wenn eine Abfrage dazwischen liegt. Beachten Sie, dass die EMR-Ausgabe nicht immer mit der Anzeige im Bericht „Quick Notes“ übereinstimmt, da in den „Quick Notes“ die Episoden, Alarmer und Zähler seit dem letzten Reset angezeigt werden. Episoden werden in einer Kombination von normativen und händlerspezifischen Typen dargestellt. Einige Episodentypen bei Boston Scientific können nicht eindeutig in der aktuellen IDCO-Nomenklatur dargestellt werden.

BSC-EPISODEN-ID	BSC-EPISODENTYP	NORMATIVER IDCO-EPISODENTYP	HÄNDLERSPEZIFISCHER IDCO-EPISODENTYP	HÄNDLERSPEZIFISCHER IDCO-EPISODENTYP
V-x	VF	VF	BSX-Epis_VF	771073
V-x	VT	VT	BSX-Epis_VT	771074
V-x	VT (V>A)	VT	Siehe Hinweis a	Siehe Hinweis a
V-x	Tachy	Für SSI-Geräte, wenn sich die Elektrode im folgenden Status befindet: <ul style="list-style-type: none"> <li>V - VT</li> <li>A - ATAF</li> <li>Unspezifiziert - VT</li> </ul>	Siehe Hinweis a	Siehe Hinweis a
V-x	NonSust	Für SSI-Geräte, wenn sich die Elektrode im folgenden Status befindet: <ul style="list-style-type: none"> <li>V - VT</li> <li>A - ATAF</li> <li>Unspezifiziert - VT</li> </ul>	Wenn A, leer sonst BSX-Epis_NSVT	Wenn A, leer sonst 771077

BSC-EPISODEN-ID	BSC-EPISODENTYP	NORMATIVER IDCO-EPISODENTYP	HÄNDLERSPEZIFISCHER IDCO-EPISODENTYP	HÄNDLERSPEZIFISCHER IDCO-EPISODENTYP
V-x	SVT (V≤A)	SVT	BSX-Epis_SVT	771076
V-x	VT-1	VT	BSX-Epis_VT-1	771075
RMS-x	RMS	Andere	BSX-Epis_RMS	771084
RYTHMIQ™-x	RYTHMIQ™	Andere	BSX-Epis_RMS	771084
ATR-x	ATR	ATAF	BSX-Epis_ATR	771078
PMT-x	PMT	Andere	BSX-Epis_PMT	771079
SBR-x	SBR	Andere	Siehe Hinweis a	Siehe Hinweis a
PTM-x	PTM	Patient aktiviert	BSX-Epis_PTM	771080
V-x	Bef. V	Andere	Siehe Hinweis a	Siehe Hinweis a
V-x	NonSustV	VT	BSX-Epis_NSVT	771077
APMRT-x	APM RT	Periodisches EGM	BSX-Epis_APMRT	771085
RVAT-x	RV Autom.	Andere	Siehe Hinweis a	Siehe Hinweis a
RAAT-x	RA Auto	Andere	Siehe Hinweis a	Siehe Hinweis a
LVAT-x	LV Auto	Andere	Siehe Hinweis a	Siehe Hinweis a
MRT-x	MRT	Andere	Siehe Hinweis a	Siehe Hinweis a
<Episodennummer>	Behandelt	VF	BSX-Epis_VF	771073
<Episodennummer>	Unbehandelt	Andere	Siehe Hinweis a	Siehe Hinweis a
<Episodennummer>	AF	ATAF	Siehe Hinweis a	Siehe Hinweis a
<Episodennummer>	SMART-Pass	Andere	Siehe Hinweis a	Siehe Hinweis a
SAM-x	SAM	Andere	Siehe Hinweis a	Siehe Hinweis a
B-x	Brady	Andere	BSX-Epis_ICM_Brady	771096
P-x	Pause	Andere	BSX-Epis_ICM_Pause	771097
AF-x	AF	ATAF	BSX-Epis_ICM_AF	771098
AT-x	AT	ATAF	BSX-Epis_ICM_AT	771099
T-x	Tachy	VT	BSX-Epis_ICM_Tachy	771100
T-x	Tachy (VT)	VT	BSX-Epis_ICM_TachyVT	771101
T-x	Tachy (SVT)	SVT	BSX-Epis_ICM_TachySVT	771102
T-x	Tachy (->VF)	VF	BSX-Epis_ICM_TachytoVF	771103
T-x	Tachy (VT->VF)	VF	BSX-Epis_ICM_TachyVTtoVF	771104
T-x	Tachy (SVT->VF)	VF	BSX-Epis_ICM_TachySVTtoVF	771105

BSC-EPIODEN-ID	BSC-EPIODENTYP	NORMATIVER IDCO-EPIODENTYP	HÄNDLERSPEZIFISCHER IDCO-EPIODENTYP	HÄNDLERSPEZIFISCHER IDCO-EPIODENTYP
T-x	Tachy (VF)	VF	BSX-Epis_ICM_TachyVF	771106
PT-x	Symptom	Patient aktiviert	BSX-Epis_ICM_Symptom	771107

a. Der händlerspezifische Episodentyp OBX ist in der Nachricht mit einem leeren Untersuchungswert enthalten.

Bei der ursprünglichen Überarbeitung der Nomenklatur hatten einige Episodentypen von Boston Scientific keine herstellerspezifischen Aufzählungen. Die herstellerspezifischen Aufzählungen und Codes sind jetzt reserviert. **Diese Codes sind für die zukünftige Verwendung reserviert** und werden unten aufgeführt, um Implementierern die Möglichkeit zu geben, diese Codes in ihr Design aufzunehmen.

BSC-EPIODEN-ID	BSC-EPIODENTYP	NORMATIVER IDCO-EPIODENTYP	HÄNDLERSPEZIFISCHER IDCO-EPIODENTYP	HÄNDLERSPEZIFISCHER IDCO-EPIODENTYP
V-x	Tachy	Für SSI-Geräte, wenn sich die Elektrode im folgenden Status befindet: <ul style="list-style-type: none"> <li>V – VT</li> <li>A – ATAF</li> <li>Unspezifiziert – VT</li> </ul>	BSX-Epis_Tachy	771086
SBR-x	SBR	Andere	BSX-Epis_SBR	771087
V-x	Bef. V	Andere	BSX-Epis_CmdV	771088
RVAT-x	RV Autom.	Andere	BSX-Epis_RVAutoThresh	771089
RAAT-x	RA Auto	Andere	BSX-Epis_RAAutoThresh	771090
LVAT-x	LV Auto	Andere	BSX-Epis_LVAutoThresh	771091
MRT-x	MRT	Andere	BSX-Epis_MRI	771092
<Episodennummer>	Behandelt	VF	BSX-Epis_SICD_Treated	771093
<Episodennummer>	Unbehandelt	Andere	BSX-Epis_SICD_Untreated	771094
<Episodennummer>	AF	ATAF	BSX-Epis_SICD_AF	771095
SAM-x	SAM	Andere	BSX-Epis_SAM	771115
V-x	VT (V>A)	VT	BSX-Epis_VT_VGrtrA	771116
V-x	SVT (V≤A)	SVT	BSX-Epis_SVT_NotVGrtrA	771117

## ZÄHLER-MAPPING

Einige Zähler werden zusammengefasst, bevor die Nachricht gesendet wird. Dies liegt daran, dass in der IDCO-Nomenklatur derzeit nicht alle Boston Scientific-Zähler dargestellt werden können: Die gesendeten Zählerwerte sind die seit dem letztem Reset.

BSC-EPIODENZÄHLER	STATISTISCHER NORMATIVER IDCO-EPIODENTYP	STATISTISCHER HÄNDLERSPEZIFISCHER IDCO-EPIODENTYP	STATISTISCHER HÄNDLERSPEZIFISCHER IDCO-EPIODENTYP
Behandelt	VF	BSX-Epis_VF	771073
Unbehandelt	Andere	Siehe Hinweis a	Siehe Hinweis a

BSC-EPISODENZÄHLER	STATISTISCHER NORMATIVER IDCO-EPISODENTYP	STATISTISCHER HÄNDLERSPEZIFISCHER IDCO-EPISODENTYP	STATISTISCHER HÄNDLERSPEZIFISCHER IDCO-EPISODENTYP
VT (V>A)	VT	Siehe Hinweis a	Siehe Hinweis a
Tachy	Für SSI-Geräte, wenn sich die Elektrode im folgenden Status befindet: <ul style="list-style-type: none"> <li>V - VT</li> <li>A - ATAF</li> <li>Unspezifiziert - VT</li> </ul>	Siehe Hinweis a	Siehe Hinweis a
NonSust	Für SSI-Geräte, wenn sich die Elektrode im folgenden Status befindet: <ul style="list-style-type: none"> <li>V - VT</li> <li>A - ATAF</li> <li>Unspezifiziert - VT</li> </ul>	BSX-Epis_NSVT	771077
NonSustV	VT	BSX-Epis_NSVT	771077
SVT (V ≤ A)	SVT	BSX-Epis_SVT	771076
ATR	ATAF	BSX-Epis_ATR	771078
MRT	Andere	Siehe Hinweis a	Siehe Hinweis a
VF	VF	BSX-Epis_VF	771073
VT	VT	BSX-Epis_VT	771074
VT-1	VT	BSX-Epis_VT-1	771075
Keine Therapie programmiert	Überwachen	Siehe Hinweis a	Siehe Hinweis a
Andere nicht behandelte	Andere	Siehe Hinweis a	Siehe Hinweis a
Brady	Andere	BSX-Epis_ICM_Brady	771096
Pause	Andere	BSX-Epis_ICM_Pause	771097
AF	ATAF	BSX-Epis_ICM_AF	771098
AT	ATAF	BSX-Epis_ICM_AT	771099
Tachy	VT	BSX-Epis_ICM_Tachy	771100
Symptom	Patient aktiviert	BSX-Epis_ICM_Symptom	771107
Brady mit Symptom	Andere	BSX-Epis_ICM_Brady_Symptom	771108
Pause mit Symptom	Andere	BSX-Epis_ICM_Pause_Symptom	771109
AF mit Symptom	ATAF	BSX-Epis_ICM_AF_Symptom	771110
AT mit Symptom	ATAF	BSX-Epis_ICM_AT_Symptom	771111
Tachy mit Symptom	VT	BSX-Epis_ICM_Tachy_Symptom	771112

a. Der händlerspezifische Zählerstat. OBX ist in der Nachricht mit einem leeren Untersuchungswert enthalten.

Bei der ursprünglichen Überarbeitung der Nomenklatur hatten einige Episodentypen von Boston Scientific keine herstellerepezifischen Aufzählungen. Die herstellerepezifischen Aufzählungen und Codes sind jetzt



reserviert. **Diese Codes sind für die zukünftige Verwendung reserviert** und werden unten aufgeführt, um Implementierern die Möglichkeit zu geben, diese Codes in ihr Design aufzunehmen.

BSC-EPISODENZÄHLER	STATISTISCHER NORMATIVER IDCO-EPISODENTYP	STATISTISCHER HÄNDLERSPEZIFISCHER IDCO-EPISODENTYP	STATISTISCHER HÄNDLERSPEZIFISCHER IDCO-EPISODENTYP
Tachy	Für SSI-Geräte, wenn sich die Elektrode im folgenden Status befindet: <ul style="list-style-type: none"> <li>• V - VT</li> <li>• A - ATAF</li> <li>• Unspezifiziert - VT</li> </ul>	BSX-Epis_Tachy	771086
Befohlene Therapie	Andere	BSX-Epis_CmdV	771088
MRT	Andere	BSX-Epis_MRI	771092
Behandelt	VF	BSX-Epis_SICD_Treated	771093
Unbehandelt	Andere	BSX-Epis_SICD_Untreated	771094
Keine Therapie programmiert	Überwachen	BSX-Epis_NoThpyEpsd	771113
Weitere unbehandelte Episoden	Andere	BSX-Epis_Other_Untreated	771114
VT (V>A)	VT	BSX-Epis_VT_VGrtrA	771116
SVT (V <=> A)	SVT	BSX-Epis_SVT_NotVGrtrA	771117

## ELEKTRODENKONFIGURATION-MAPPING

In der nachfolgenden Tabelle wird dargestellt, wie mehrere Elektrodenpole bei IDCO und BSC definiert werden. Diese Tabelle soll nicht vollständig sein, sondern enthält nur Aufzählungen, die möglicherweise nicht allgemein bekannt sind.

Die von BSC verwendeten Definitionen wurden so gewählt, dass sie mit dem Programmer Recorder Monitor (PRM) und der LATITUDE-Website konsistent sind.

BSC-ELECTRODENNAME	POSITION IDCO-ELEKTRODE	IDCO-ELECTRODENNAME
Gehäuse	Andere	Gehäuse
LVTip1	LV	Spitze
LVRing2	LV	Ring1
LVRing3	LV	Ring2
LVRing4	LV	Ring3

MDC\_IDCO\_ENUM\_ELECTRODE\_LOCATION(Stimulation/Detektionsanode/Kathodenposition) enthält derzeit keine Aufzählung für die Tasche (d. h. Gehäuse). Die Position wird als „Sonstige“ und die Elektrode als „Gehäuse“ gesendet.

Der Status „Elektrode überprüfen“ gibt ein mögliches Problem mit der Elektrode an; wenn kein Status „Elektrode überprüfen“ angezeigt wird, bedeutet das nicht, dass die Elektrode ordnungsgemäß arbeitet. Der Status „Elektrode prüfen“ wird gesendet, wenn eine der folgenden Statusanzeigen vorhanden ist:

- S-ICD-Geräte

- Hohe Elektroden-Impedanz
- Alle anderen Geräte
  - Sicherheitsumschaltung
  - Impedanz außerhalb der Grenzwerte
  - Amplitude außerhalb der Grenzwerte
  - Niedrige Schock-Impedanz
  - Hohe Schock-Impedanz
  - Hochspannung während des Ladens

Für MSMT\_LEADCHNL\_[CHAMBER] (d. h. Elektrodenkanalmessungen wie intrinsische Amplitude, Elektrodenimpedanz, Stimulationsreizschwelle) ist nur ein Zeitstempelbereich für alle Messungen in der aktuellen IDCO-Nomenklatur möglich (d. h. nicht ein Bereich pro Messung). Wenn die Messzeiten unterschiedlich sind, wird ein Zeitstempelbereich gesendet (d. h. MIN, MAX), der die Uhrzeit aller drei Messungen einschließt. Weiterhin sind die gesendeten Werte ein IDCO MEAN-Wert für die IDCO-Nomenklatur. Die Werte sind jedoch einzelne Messungen und keine Mittelwerte des Zeitstempelbereichs.

## SYSTEMEINSCHRÄNKUNGEN

- Die Tachy-spezifische und kammerspezifische Ausgabe ist so spezifisch wie möglich. In einigen Fällen wird durch die Wichtigkeit der Daten und die Tatsache, dass IDCO bestimmte Parameter nicht darstellen kann, sichergestellt, dass die Daten gesendet werden. So werden beispielsweise Informationen zur VT-Zone gesendet, als ob Brady-Geräte über eine VT-Zone verfügten.
- Bei Geräten, die über keine automatische Stimulations-Reizschwelle verfügen (Automatische Reizschwellenfunktion) wird die letzte Stimulationsreizschwellenmessung gesendet.
- Die korrekte Weitergabe von Daten und Alarm-Meldungen implantierter Geräte durch das LATITUDE NXT-System hängt davon ab, ob der Zeitgeber des implantierten Geräts richtig mit einem PRM (Programmier-/Aufzeichnungs-/Überwachungsgerät) programmiert wurde. Die korrekte Weitergabe kann auch noch einige Zeit gestört sein, nachdem der implantierte Zeitgeber des Geräts richtig programmiert wurde. Dies hängt davon ab, welche Menge an Daten mit falscher Zeitangabe empfangen wurden und wie groß die Zeitdifferenz durch den Fehler ist.
- Die Zeichenfolgen werden in der Sprache gesendet, die für die Klinik in LATITUDE konfiguriert wurde.

## DEFINITIONEN FÜR ALARME UND WARNUNGEN

Warnungen und Alarm-Meldungen werden als Hinweise in die Nachrichten aufgenommen, die möglicherweise in einem EMR angezeigt werden. Eine Warnung oder ein Alarm wird in die Nachricht aufgenommen, wenn die Daten, die vom implantierten Gerät hochgeladen wurden, die Warnung oder den Alarm gesteuert haben.

## IDCO-BEISPIELDATEIEN

---

### KAPITEL 3

Dieses Kapitel enthält die folgenden Themen:

- "IDCO-Beispieldateien" auf Seite 3-2
- "Beispiel-Nachricht 1 – S-ICD-Gerät" auf Seite 3-2
- "Beispiel-Nachricht 2 – ICM-Gerät" auf Seite 3-4
- "Beispiel-Nachricht 3 – Andere Therapiegeräte (nicht S-ICD)" auf Seite 3-7

Остаряла версия. Да не се използва.  
Zastaralá verze. Nepoužívat.  
Forældet version. Må ikke anvendes.  
Version überholt. Nicht verwenden.  
Aegunud versioón. Myn þyn Χρησιμοποιείτε.  
Παλιά έκδοση. Μην την Χρησιμοποιείτε.  
Outdated version. Do not use.  
Version obsolete. Ne utilizar.  
Zastarjela verzija. Nemojte upotrebljavati.  
Úreлт útgáfa. Notið ekki.  
Versione obsolete. Non utilizzare.  
Pasenusi versija. Neizmantot.  
Elavult verzió. Ne használja!  
Dit is een verouderde versie. Niet gebruiken.  
Wersja przeterminowana. Nie używać.  
Versão obsoleta. Não utilize.  
Versiune expirată. A nu se utiliza.  
Zastaraná verzia. Nepoužívat.  
Zastarela različica. Ne uporabite.  
Vanhentunut versio. Älä käytä.  
Föråldrad version. Använd ej.  
Güncel olmayan sürüm. Kullanmayın.

## IDCO-BEISPIELDATEIEN

Die folgenden IDCO-Beispieldateien zeigen, wie die LATITUDE-IDCO-Nachricht aussehen kann. Diese sind nur zwei Beispiele von vielen möglichen Formen. Die Daten in den Beispielnachrichten sind hypothetisch, und es sind nicht alle LATITUDE-IDCO-Begriffe dargestellt.

### BEISPIEL-NACHRICHT 1 – S-ICD-GERÄT

```
MSH|^~\&|LATITUDE|BOSTON SCIENTIFIC||TestClinic|201502111522+0000||ORU^R01^ORU_R01
|0|P|2.6|||||UNICODE UTF-8|de^German||IHE_PCD_009^IHE_PCD
^1.3.6.1.4.1.19376.1.6.1.9.1^ISO
PID|1||model:A209/serial:668155243^^^BSX^U~testPatientId^^^TestClinic^U||
testLastName^testName^^^^^I~testAuxLName^testAuxFName^^^^^P||19680215|UPV1
|1|RPV2|||||||TestDeviceGroup^^1
OBR|1||1000000017|754054^MDC_IDC_ENUM_SESS_TYPE_RemotePatientInitiated^MDC|||
201501260412-0600|||||FNT|1|Wahrnehmungskonfiguration:
Alternativ\br\Verstärkungseinstellung: lx\br\Post-Schock-Stimulation:
ONNTE|2|Jan 26, 2015 11:07 EST - Alarmstufe Gelb - Unbehandelte Episode.
NTE|3|Jan 26, 2015 11:04 EST - Alarmstufe Gelb - Schocktherapie abgegeben,
um Arrhythmie zu beenden (behandelte Episode).
OBX|1|CWE|720897^MDC_IDC_DEV_TYPE^MDC||753666^MDC_IDC_ENUM_DEV_TYPE_
ICD^MDC||||F
OBX|2|ST|720898^MDC_IDC_DEV_MODEL^MDC||A209||||F
OBX|3|ST|720899^MDC_IDC_DEV_SERIAL^MDC||668155243||||F
OBX|4|CWE|720900^MDC_IDC_DEV_MFG^MDC||753732^MDC_IDC_ENUM_MFG_
BSX^MDC||||F
OBX|5|DTM|720901^MDC_IDC_DEV_IMPLANT_DT^MDC||20150126||||F
OBX|6|DTM|721025^MDC_IDC_SESS_DTM^MDC||201501260412-0600||||F
OBX|7|CWE|721026^MDC_IDC_SESS_TYPE^MDC||754054^MDC_IDC_ENUM_SESS_
TYPE_RemotePatientInitiated^MDC||||F
OBX|8|ST|721033^MDC_IDC_SESS_CLINIC_NAME^MDC||TestClinic||||F
OBX|9|DTM|721216^MDC_IDC_MSMT_BATTERY_DTM^MDC||201501260412-0600||||F
OBX|10|CWE|721280^MDC_IDC_MSMT_BATTERY_STATUS^MDC||754113^MDC_IDC_ENUM_
BATTERY_STATUS_BOS^MDC||||F
OBX|11|NM|721636^MDC_IDC_MSMT_BATTERY_REMAINING_PERCENTAGE^MDC||98||||F
OBX|12|ST|739536^MDC_IDC_EPISODE_ID^MDC||1002||||F
OBX|13|DTM|739552^MDC_IDC_EPISODE_DTM^MDC||1|201501261107-0500||||F
OBX|14|CWE|739568^MDC_IDC_EPISODE_TYPE^MDC||1|754888^MDC_IDC_ENUM_EPISODE_
TYPE_Epis_Other^MDC||||F
OBX|15|CWE|739600^MDC_IDC_EPISODE_VENDOR_TYPE^MDC||1||||F
OBX|16|CWE|739584^MDC_IDC_EPISODE_TYPE_INDUCED^MDC||1|755330^MDC_IDC_ENUM_
EPISODE_TYPE_INDUCED_NO^MDC||||F
OBX|17|NM|739712^MDC_IDC_EPISODE_DURATION^MDC||1|39|s|||F
OBX|18|ST|739680^MDC_IDC_EPISODE_DETECTION_THERAPY_DETAILS^MDC||1|
Unbehandelt Episode||||F
OBX|19|ST|739536^MDC_IDC_EPISODE_ID^MDC||2|001||||F
OBX|20|DTM|739552^MDC_IDC_EPISODE_DTM^MDC||2|201501261104-0500||||F
OBX|21|CWE|739568^MDC_IDC_EPISODE_TYPE^MDC||2|754881^MDC_IDC_ENUM_EPISODE_
TYPE_Epis_VF^MDC||||F
OBX|22|CWE|739600^MDC_IDC_EPISODE_VENDOR_TYPE^MDC||2|771073^MDC_IDC_ENUM_
EPISODE_VENDOR_TYPE_BSX-Epis_VF^MDC||||F
OBX|23|CWE|739584^MDC_IDC_EPISODE_TYPE_INDUCED^MDC||2|755330^MDC_IDC_ENUM_
EPISODE_TYPE_INDUCED_NO^MDC||||F
OBX|24|NM|739712^MDC_IDC_EPISODE_DURATION^MDC||2|43|s|||F
OBX|25|ST|739680^MDC_IDC_EPISODE_DETECTION_THERAPY_DETAILS^MDC||2|Behandelt
Episode: Schock-Impedanz=77 Ohms, Letzte Schockpolarität=REV||||F
OBX|26|CWE|731520^MDC_IDC_SET_TACHYTHERAPY_VSTAT^MDC||754817^MDC_IDC_ENUM_
THERAPY_STATUS_On^MDC||||F
OBX|27|CWE|731648^MDC_IDC_SET_ZONE_TYPE^MDC||1|754945^MDC_IDC_ENUM_ZONE_
```

```
TYPE_Zone_VF^MDC|||||F
OBX|28|CWE|731712^MDC_IDC_SET_ZONE_VENDOR_TYPE^MDC|1|771139^MDC_IDC_ENUM_
ZONE_VENDOR_TYPE_BSX-Zone_VF^MDC|||||F
OBX|29|CWE|731776^MDC_IDC_SET_ZONE_STATUS^MDC|1|755009^MDC_IDC_ENUM_
ZONE_STATUS_Active^MDC|||||F
OBX|30|NM|731840^MDC_IDC_SET_ZONE_DETECTION_INTERVAL^MDC|1|273|ms|||||F
OBX|31|NM|732225^MDC_IDC_SET_ZONE_SHOCK_ENERGY_1^MDC|1|80|J|||||F
OBX|32|CWE|731648^MDC_IDC_SET_ZONE_TYPE^MDC|1|754946^MDC_IDC_ENUM_
ZONE_TYPE_Zone_VT^MDC|||||F
OBX|33|CWE|731712^MDC_IDC_SET_ZONE_VENDOR_TYPE^MDC|2|771137^MDC_IDC_ENUM_
ZONE_VENDOR_TYPE_BSX-Zone_VT^MDC|||||F
OBX|34|CWE|731776^MDC_IDC_SET_ZONE_STATUS^MDC|2|755009^MDC_IDC_ENUM_
ZONE_STATUS_Active^MDC|||||F
OBX|35|NM|731840^MDC_IDC_SET_ZONE_DETECTION_INTERVAL^MDC|2|300|ms|||||F
OBX|36|ST|732032^MDC_IDC_SET_ZONE_DETECTION_DETAILS^MDC|2|SMART-Charge:
204,69 s (133 Intervalle)|||||F
OBX|37|NM|732225^MDC_IDC_SET_ZONE_SHOCK_ENERGY_1^MDC|2|80|J|||||F
OBX|38|CWE|737952^MDC_IDC_STAT_EPISODE_TYPE^MDC|1|754888^MDC_IDC_ENUM_
EPISODE_TYPE_Epis_Other^MDC|||||F
OBX|39|CWE|737984^MDC_IDC_STAT_EPISODE_VENDOR_TYPE^MDC|1|||||F
OBX|40|NM|738000^MDC_IDC_STAT_EPISODE_RECENT_COUNT^MDC|1|1|||||F
OBX|41|DTM|738017^MDC_IDC_STAT_EPISODE_RECENT_COUNT_DTM_START^MDC|1|20150126|||||F
OBX|42|DTM|738018^MDC_IDC_STAT_EPISODE_RECENT_COUNT_DTM_END^MDC|1|20150126|||||F
OBX|43|NM|738032^MDC_IDC_STAT_EPISODE_TOTAL_COUNT^MDC|1|1|||||F
OBX|44|DTM|738049^MDC_IDC_STAT_EPISODE_TOTAL_COUNT_DTM_START^MDC|1|20150126|||||F
OBX|45|DTM|738050^MDC_IDC_STAT_EPISODE_TOTAL_COUNT_DTM_END^MDC|1|20150126|||||F
OBX|46|CWE|737952^MDC_IDC_STAT_EPISODE_TYPE^MDC|2|754881^MDC_IDC_ENUM_
EPISODE_TYPE_Epis_VF^MDC|||||F
OBX|47|CWE|737984^MDC_IDC_STAT_EPISODE_VENDOR_TYPE^MDC|2|771073^MDC_IDC_ENUM_
EPISODE_VENDOR_TYPE_BSX-Epis_VF^MDC|||||F
OBX|48|NM|738000^MDC_IDC_STAT_EPISODE_RECENT_COUNT^MDC|2|1|||||F
OBX|49|DTM|738017^MDC_IDC_STAT_EPISODE_RECENT_COUNT_DTM_START^MDC|2|20150126|||||F
OBX|50|DTM|738018^MDC_IDC_STAT_EPISODE_RECENT_COUNT_DTM_END^MDC|2|20150126|||||F
OBX|51|NM|738032^MDC_IDC_STAT_EPISODE_TOTAL_COUNT^MDC|2|1|||||F
OBX|52|DTM|738049^MDC_IDC_STAT_EPISODE_TOTAL_COUNT_DTM_START^MDC|2|20150126|||||F
OBX|53|DTM|738050^MDC_IDC_STAT_EPISODE_TOTAL_COUNT_DTM_END^MDC|2|20150126|||||F
OBX|54|DTM|737937^MDC_IDC_STAT_TACHYTHERAPY_RECENT_DTM_START^MDC|1|20150126|||||F
OBX|55|DTM|737938^MDC_IDC_STAT_TACHYTHERAPY_RECENT_DTM_END^MDC|1|20150126|||||F
OBX|56|NM|737824^MDC_IDC_STAT_TACHYTHERAPY_SHOCKS_DELIVERED_RECENT^MDC|1|1|||||F
OBX|57|DTM|737921^MDC_IDC_STAT_TACHYTHERAPY_TOTAL_DTM_START^MDC|1|20150126|||||F
OBX|58|DTM|737922^MDC_IDC_STAT_TACHYTHERAPY_TOTAL_DTM_END^MDC|1|20150126|||||F
OBX|59|NM|737840^MDC_IDC_STAT_TACHYTHERAPY_SHOCKS_DELIVERED_TOTAL^MDC|1|1|||||F
OBX|60|ST|720961^MDC_IDC_LEAD_MODEL^MDC|1|1030|||||F
OBX|61|ST|720962^MDC_IDC_LEAD_SERIAL^MDC|1|A123456|||||F
OBX|62|CWE|720963^MDC_IDC_LEAD_MFG^MDC|1|753732^MDC_IDC_ENUM_MFG_BSX^MDC|||||F
OBX|63|CWE|720966^MDC_IDC_LEAD_LOCATION^MDC|1|753861^MDC_IDC_ENUM_
LEAD_LOCATION_CHAMBER_OTHER^MDC|||||F
OBX|64|CWE|720967^MDC_IDC_LEAD_LOCATION_DETAIL_1^MDC|1|753944^MDC_IDC_ENUM_
_LEAD_LOCATION_DETAIL_Subcutaneous^MDC|||||F
OBX|65|ED|18750-0^Cardiac Electrophysiology Report^LN^^Gesamtbericht||
Application^PDF^^Base64^{kodierte PDF hier}|||||F
|||201501260412-0600OBX|66|ED|18750-0^Cardiac Electrophysiology Report^LN^^Bericht
Arrhythmie-Logbuch||Application^PDF^^Base64^{kodierte PDF hier}|||||F
|||201501260412-0600OBX|67|ED|18750-0^Cardiac Electrophysiology Report^LN^^
Eingangs-S-EKG-Bericht||Application^PDF^^Base64^{kodierte PDF hier}|||||F
|||201501260412-0600
```

## BEISPIEL-NACHRICHT 2 – ICM-GERÄT

```
MSH|^~\&|LATITUDE|BOSTON SCIENTIFIC||BSC Systems Developm|201908061647+0000||ORU^R01^ORU_R01  
|1000000503|P|2.6|||||UNICODE UTF-8|en^English||IHE_  
PCD_009^IHE PCD^1.3.6.1.4.1.19376.1.6.1.9.1^ISO  
PID|1||model:M301/serial:555113^^^BSX^U~101^^^BSC Systems Development^U||  
Brown^Jesse||19500101|  
FPV1|1|R  
PV2|||||||||||||||||BSC Systems Development^^1  
OBR|1||1000000501|754054^MDC_IDC_ENUM_SESS_TYPE_RemotePatientInitiated  
^MDC||201908051529-0500|P|||||||||||||F  
NTE|1||2 rote Ereignis-Alarme, 1 gelber Ereignis-Alarm  
OBX|1|DTM|721025^MDC_IDC_SESS_DTM^MDC||201908051529-0500|||||F  
OBX|2|CWE|721026^MDC_IDC_SESS_TYPE^MDC||754054^MDC_IDC_ENUM_SESS_TYPE_  
RemotePatientInitiated^MDC|||||F  
OBX|3|ST|721033^MDC_IDC_SESS_CLINIC_NAME^MDC||BSC Systems Development|||||F  
OBX|4|CWE|720897^MDC_IDC_DEV_TYPE^MDC||753669^MDC_IDC_ENUM_DEV_TYPE_Monitor^MDC|||||F  
OBX|5|ST|720898^MDC_IDC_DEV_MODEL^MDC||M301|||||F  
OBX|6|ST|720899^MDC_IDC_DEV_SERIAL^MDC||555113|||||F  
OBX|7|CWE|720900^MDC_IDC_DEV_MFG^MDC||753732^MDC_IDC_ENUM_MFG_BSX^MDC|||||F  
OBX|8|DTM|720901^MDC_IDC_DEV_IMPLANT_DT^MDC||201908051529-0500|||||F  
OBX|9|DTM|721216^MDC_IDC_MSMT_BATTERY_DTM^MDC||201908051529-0500|||||F  
OBX|10|CWE|721280^MDC_IDC_MSMT_BATTERY_STATUS^MDC||754113^MDC_IDC_ENUM_  
BATTERY_STATUS_BOS^MDC|||||F  
OBX|11|ST|739536^MDC_IDC_EPISODE_ID^MDC||1|APM-1|||||F  
OBX|12|DTM|739552^MDC_IDC_EPISODE_DTM^MDC||1|201908051528-0500|||||F  
OBX|13|CWE|739568^MDC_IDC_EPISODE_TYPE^MDC||1|754886^MDC_IDC_ENUM_  
EPISODE_TYPE_Epis_PeriodicEGM^MDC|||||F  
OBX|14|CWE|739600^MDC_IDC_EPISODE_VENDOR_TYPE^MDC||1|771085^MDC_IDC_ENUM_  
EPISODE_VENDOR_TYPE_BSX-Epis_APMRT^MDC|||||F  
OBX|15|ST|739680^MDC_IDC_EPISODE_DETECTION_THERAPY_DETAILS^MDC||1|Durchschn.frequenz=66|||||F  
OBX|16|ST|739536^MDC_IDC_EPISODE_ID^MDC||2|AF-1|||||F  
OBX|17|DTM|739552^MDC_IDC_EPISODE_DTM^MDC||2|201908051523-0500|||||F  
OBX|18|CWE|739568^MDC_IDC_EPISODE_TYPE^MDC||2|754883^MDC_IDC_ENUM_  
EPISODE_TYPE_Epis_ATAF^MDC|||||F  
OBX|19|CWE|739600^MDC_IDC_EPISODE_VENDOR_TYPE^MDC||2|771098^MDC_IDC_  
ENUM_EPISODE_VENDOR_TYPE_BSX-Epis_ICM_AF^MDC|||||F  
OBX|20|ST|739680^MDC_IDC_EPISODE_DETECTION_THERAPY_DETAILS^MDC||2|Läuft|||||F  
OBX|21|ED|18750-0^Bericht zur kardialen Elektrophysiologie^LN^AF-1 - Ereignisdetailbericht|2|  
Anwendung^PDF^^Base64^(kodiertes PDF hier enthalten)|||||F||201908051529-0500  
OBX|22|ST|739536^MDC_IDC_EPISODE_ID^MDC||3|B-1|||||F  
OBX|23|DTM|739552^MDC_IDC_EPISODE_DTM^MDC||3|201908051508-0500|||||F  
OBX|24|CWE|739568^MDC_IDC_EPISODE_TYPE^MDC||3|754888^MDC_IDC_ENUM_  
EPISODE_TYPE_Epis_Other^MDC|||||F  
OBX|25|CWE|739600^MDC_IDC_EPISODE_VENDOR_TYPE^MDC||3|771096^MDC_IDC_ENUM_  
EPISODE_VENDOR_TYPE_BSX-Epis_ICM_Brady^MDC|||||F  
OBX|26|NM|739712^MDC_IDC_EPISODE_DURATION^MDC||3|7|s|||||F  
OBX|27|ST|739680^MDC_IDC_EPISODE_DETECTION_THERAPY_DETAILS^MDC||3|  
Durchschn.frequenz=38|||||F  
OBX|28|ED|18750-0^Bericht zur kardialen Elektrophysiologie^LN^B-1 - Ereignisdetailbericht|3|  
Anwendung^PDF^^Base64^(kodiertes PDF hier enthalten)|||||F||201908051529-0500  
OBX|29|ST|739536^MDC_IDC_EPISODE_ID^MDC||4|P-1|||||F  
OBX|30|DTM|739552^MDC_IDC_EPISODE_DTM^MDC||4|201908051429-0500|||||F  
OBX|31|CWE|739568^MDC_IDC_EPISODE_TYPE^MDC||4|754888^MDC_IDC_ENUM_  
EPISODE_TYPE_Epis_Other^MDC|||||F  
OBX|32|CWE|739600^MDC_IDC_EPISODE_VENDOR_TYPE^MDC||4|771097^MDC_IDC_ENUM_  
EPISODE_VENDOR_TYPE_BSX-Epis_ICM_Pause^MDC|||||F  
OBX|33|NM|739712^MDC_IDC_EPISODE_DURATION^MDC||4|3|s|||||F  
OBX|34|ED|18750-0^Bericht zur kardialen Elektrophysiologie^LN^P-1 - Ereignisdetailbericht|4|
```

Anwendung^PDF^^Base64^{kodiertes PDF hier enthalten}|||||F|||201908051529-0500  
OBX|35|ST|739536^MDC\_IDC\_EPISODE\_ID^MDC|5|AT-1|||||F  
OBX|36|DTM|739552^MDC\_IDC\_EPISODE\_DTM^MDC|5|201908051419-0500|||||F  
OBX|37|CWE|739568^MDC\_IDC\_EPISODE\_TYPE^MDC|5|754883^MDC\_IDC\_ENUM\_  
EPISODE\_TYPE\_Epis\_ATAF^MDC|||||F  
OBX|38|CWE|739600^MDC\_IDC\_EPISODE\_VENDOR\_TYPE^MDC|5|771099^MDC\_IDC\_ENUM\_  
EPISODE\_VENDOR\_TYPE\_BSX-Epis\_ICM\_AT^MDC|||||FOBX|39|NM|739712^MDC\_IDC\_  
EPISODE\_DURATION^MDC|5|360|s|||||F  
OBX|40|ST|739680^MDC\_IDC\_EPISODE\_DETECTION\_THERAPY\_DETAILS^MDC|5|  
Durchschn.frequenz=130|||||F  
OBX|41|ED|18750-0^Bericht zur kardialen Elektrophysiologie^LN^^AT-1 -  
Ereignisdetailbericht|5|Anwendung^PDF^^Base64^{kodiertes PDF hier  
enthalten}|||||F|||201908051529-0500  
OBX|42|ST|739536^MDC\_IDC\_EPISODE\_ID^MDC|6|T-1|||||F  
OBX|43|DTM|739552^MDC\_IDC\_EPISODE\_DTM^MDC|6|201908051413-0500|||||F  
OBX|44|CWE|739568^MDC\_IDC\_EPISODE\_TYPE^MDC|6|754882^MDC\_IDC\_ENUM\_  
EPISODE\_TYPE\_Epis\_VT^MDC|||||F  
OBX|45|CWE|739600^MDC\_IDC\_EPISODE\_VENDOR\_TYPE^MDC|6|771100^MDC\_IDC\_ENUM\_  
EPISODE\_VENDOR\_TYPE\_BSX-Epis\_ICM\_Tachy^MDC|||||FOBX|46|NM|739712  
^MDC\_IDC\_EPISODE\_DURATION^MDC|6|24|s|||||F  
OBX|47|ST|739680^MDC\_IDC\_EPISODE\_DETECTION\_THERAPY\_DETAILS  
^MDC|6|Symptom; Durchschn.frequenz=207, Max Frequenz=225; sitzend; schwindlig|||||F  
OBX|48|ED|18750-0^Bericht zur kardialen Elektrophysiologie^LN^^T-1 -  
Ereignisdetailbericht|6|Anwendung^PDF^^Base64^{kodiertes PDF hier  
enthalten}|||||F|||201908051529-0500  
OBX|49|ST|739536^MDC\_IDC\_EPISODE\_ID^MDC|7|PT-1|||||F  
OBX|50|DTM|739552^MDC\_IDC\_EPISODE\_DTM^MDC|7|201908051409-0500|||||F  
OBX|51|CWE|739568^MDC\_IDC\_EPISODE\_TYPE^MDC|7|754887^MDC\_IDC\_ENUM\_  
EPISODE\_TYPE\_Epis\_PatientActivated^MDC|||||F  
OBX|52|CWE|739600^MDC\_IDC\_EPISODE\_VENDOR\_TYPE^MDC|7|771107^MDC\_IDC\_ENUM\_  
EPISODE\_VENDOR\_TYPE\_BSX-Epis\_ICM\_Symptom^MDC|||||F  
OBX|53|NM|739712^MDC\_IDC\_EPISODE\_DURATION^MDC|7|290|s|||||F  
OBX|54|ST|739680^MDC\_IDC\_EPISODE\_DETECTION\_THERAPY\_DETAILS  
^MDC|7|Aktiv; Herzrasen, Atemnot|||||F  
OBX|55|ED|18750-0^Bericht zur kardialen Elektrophysiologie^LN^^PT-1 -  
Ereignisdetailbericht|7|Anwendung^PDF^^Base64^{kodiertes PDF hier  
enthalten}|||||F|||201908051529-0500  
OBX|56|DTM|737489^MDC\_IDC\_STAT\_DTM\_START^MDC|1|20190805|||||F  
OBX|57|DTM|737490^MDC\_IDC\_STAT\_DTM\_END^MDC|1|20190805|||||F  
OBX|58|CWE|737952^MDC\_IDC\_STAT\_EPISODE\_TYPE^MDC|1|754888^MDC\_IDC\_ENUM\_  
EPISODE\_TYPE\_Epis\_Other^MDC|||||F  
OBX|59|CWE|737984^MDC\_IDC\_STAT\_EPISODE\_VENDOR\_TYPE^MDC|1|771096^MDC\_IDC\_ENUM\_  
EPISODE\_VENDOR\_TYPE\_BSX-Epis\_ICM\_Brady^MDC|||||F  
OBX|60|NM|738000^MDC\_IDC\_STAT\_EPISODE\_RECENT\_COUNT  
^MDC|1|1|||||F  
OBX|61|DTM|738017^MDC\_IDC\_STAT\_EPISODE\_RECENT\_COUNT\_DTM\_START  
^MDC|1|20190805|||||F  
OBX|62|DTM|738018^MDC\_IDC\_STAT\_EPISODE\_RECENT\_COUNT\_DTM\_END  
^MDC|1|20190805|||||F  
OBX|63|NM|738032^MDC\_IDC\_STAT\_EPISODE\_TOTAL\_COUNT^MDC|1|1|||||F  
OBX|64|DTM|738049^MDC\_IDC\_STAT\_EPISODE\_TOTAL\_COUNT\_DTM\_START  
^MDC|1|20190805|||||F  
OBX|65|DTM|738050^MDC\_IDC\_STAT\_EPISODE\_TOTAL\_COUNT\_DTM\_END^MDC|1|20190805|||||F  
OBX|66|CWE|737952^MDC\_IDC\_STAT\_EPISODE\_TYPE^MDC|2|754882^MDC\_IDC\_ENUM\_  
EPISODE\_TYPE\_Epis\_VT^MDC|||||F  
OBX|67|CWE|737984^MDC\_IDC\_STAT\_EPISODE\_VENDOR\_TYPE^MDC|2|771100^MDC\_IDC\_ENUM\_  
EPISODE\_VENDOR\_TYPE\_BSX-Epis\_ICM\_Tachy^MDC|||||F  
OBX|68|NM|738000^MDC\_IDC\_STAT\_EPISODE\_RECENT\_COUNT^MDC|2|1|||||F  
OBX|69|DTM|738017^MDC\_IDC\_STAT\_EPISODE\_RECENT\_COUNT\_DTM\_START^MDC|2|20190805|||||F

OBX|70|DTM|738018^MDC\_IDC\_STAT\_EPISODE\_RECENT\_COUNT\_DTM\_END^MDC|2|20190805|||||F  
OBX|71|NM|738032^MDC\_IDC\_STAT\_EPISODE\_TOTAL\_COUNT^MDC|2|1|||||F  
OBX|72|DTM|738049^MDC\_IDC\_STAT\_EPISODE\_TOTAL\_COUNT\_DTM\_START^MDC|2|20190805|||||F  
OBX|73|DTM|738050^MDC\_IDC\_STAT\_EPISODE\_TOTAL\_COUNT\_DTM\_END^MDC|2|20190805|||||F  
OBX|74|CWE|737952^MDC\_IDC\_STAT\_EPISODE\_TYPE^MDC|3|754883^MDC\_IDC\_ENUM\_  
EPISODE\_TYPE\_Epis\_ATAF^MDC|||||F  
OBX|75|CWE|737984^MDC\_IDC\_STAT\_EPISODE\_VENDOR\_TYPE^MDC|3|771099^MDC\_IDC\_ENUM\_  
EPISODE\_VENDOR\_TYPE\_BSX-Epis\_ICM\_AT^MDC|||||F  
OBX|76|NM|738000^MDC\_IDC\_STAT\_EPISODE\_RECENT\_COUNT^MDC|3|1|||||F  
OBX|77|DTM|738017^MDC\_IDC\_STAT\_EPISODE\_RECENT\_COUNT\_DTM\_START^MDC|3|20190805|||||F  
OBX|78|DTM|738018^MDC\_IDC\_STAT\_EPISODE\_RECENT\_COUNT\_DTM\_END^MDC|3|20190805|||||F  
OBX|79|NM|738032^MDC\_IDC\_STAT\_EPISODE\_TOTAL\_COUNT^MDC|3|1|||||F  
OBX|80|DTM|738049^MDC\_IDC\_STAT\_EPISODE\_TOTAL\_COUNT\_DTM\_START^MDC|3|20190805|||||F  
OBX|81|DTM|738050^MDC\_IDC\_STAT\_EPISODE\_TOTAL\_COUNT\_DTM\_END^MDC|3|20190805|||||F  
OBX|82|CWE|737952^MDC\_IDC\_STAT\_EPISODE\_TYPE^MDC|4|754883^MDC\_IDC\_ENUM\_  
EPISODE\_TYPE\_Epis\_ATAF^MDC|||||F  
OBX|83|CWE|737984^MDC\_IDC\_STAT\_EPISODE\_VENDOR\_TYPE^MDC|4|771098^MDC\_IDC\_ENUM\_  
EPISODE\_VENDOR\_TYPE\_BSX-Epis\_ICM\_AF^MDC|||||F  
OBX|84|NM|738000^MDC\_IDC\_STAT\_EPISODE\_RECENT\_COUNT^MDC|4|1|||||F  
OBX|85|DTM|738017^MDC\_IDC\_STAT\_EPISODE\_RECENT\_COUNT\_DTM\_START^MDC|4|20190805|||||F  
OBX|86|DTM|738018^MDC\_IDC\_STAT\_EPISODE\_RECENT\_COUNT\_DTM\_END^MDC|4|20190805|||||F  
OBX|87|NM|738032^MDC\_IDC\_STAT\_EPISODE\_TOTAL\_COUNT^MDC|4|1|||||F  
OBX|88|DTM|738049^MDC\_IDC\_STAT\_EPISODE\_TOTAL\_COUNT\_DTM\_START^MDC|4|20190805|||||F  
OBX|89|DTM|738050^MDC\_IDC\_STAT\_EPISODE\_TOTAL\_COUNT\_DTM\_END^MDC|4|20190805|||||F  
OBX|90|CWE|737952^MDC\_IDC\_STAT\_EPISODE\_TYPE^MDC|5|754888^MDC\_IDC\_ENUM\_  
EPISODE\_TYPE\_Epis\_Other^MDC|||||F  
OBX|91|CWE|737984^MDC\_IDC\_STAT\_EPISODE\_VENDOR\_TYPE^MDC|5|771097^MDC\_IDC\_ENUM\_  
EPISODE\_VENDOR\_TYPE\_BSX-Epis\_ICM\_Pause^MDC|||||F  
OBX|92|NM|738000^MDC\_IDC\_STAT\_EPISODE\_RECENT\_COUNT^MDC|5|1|||||F  
OBX|93|DTM|738017^MDC\_IDC\_STAT\_EPISODE\_RECENT\_COUNT\_DTM\_START^MDC|5|20190805|||||F  
OBX|94|DTM|738018^MDC\_IDC\_STAT\_EPISODE\_RECENT\_COUNT\_DTM\_END^MDC|5|20190805|||||F  
OBX|95|NM|738032^MDC\_IDC\_STAT\_EPISODE\_TOTAL\_COUNT^MDC|5|1|||||F  
OBX|96|DTM|738049^MDC\_IDC\_STAT\_EPISODE\_TOTAL\_COUNT\_DTM\_START^MDC|5|20190805|||||F  
OBX|97|DTM|738050^MDC\_IDC\_STAT\_EPISODE\_TOTAL\_COUNT\_DTM\_END^MDC|5|20190805|||||F  
OBX|98|CWE|737952^MDC\_IDC\_STAT\_EPISODE\_TYPE^MDC|6|754887^MDC\_IDC\_ENUM\_  
EPISODE\_TYPE\_Epis\_PatientActivated^MDC|||||F  
OBX|99|CWE|737984^MDC\_IDC\_STAT\_EPISODE\_VENDOR\_TYPE^MDC|6|771107^MDC\_IDC\_ENUM\_  
EPISODE\_VENDOR\_TYPE\_BSX-Epis\_ICM\_Symptom^MDC|||||F  
OBX|100|NM|738000^MDC\_IDC\_STAT\_EPISODE\_RECENT\_COUNT^MDC|6|2|||||F  
OBX|101|DTM|738017^MDC\_IDC\_STAT\_EPISODE\_RECENT\_COUNT\_DTM\_START^MDC|6|20190805|||||F  
OBX|102|DTM|738018^MDC\_IDC\_STAT\_EPISODE\_RECENT\_COUNT\_DTM\_END^MDC|6|20190805|||||F  
OBX|103|NM|738032^MDC\_IDC\_STAT\_EPISODE\_TOTAL\_COUNT^MDC|6|2|||||F  
OBX|104|DTM|738049^MDC\_IDC\_STAT\_EPISODE\_TOTAL\_COUNT\_DTM\_START^MDC|6|20190805|||||F  
OBX|105|DTM|738050^MDC\_IDC\_STAT\_EPISODE\_TOTAL\_COUNT\_DTM\_END^MDC|6|20190805|||||F  
OBX|106|CWE|737952^MDC\_IDC\_STAT\_EPISODE\_TYPE^MDC|7|754882^MDC\_IDC\_ENUM\_  
EPISODE\_TYPE\_Epis\_VT^MDC|||||F  
OBX|107|CWE|737984^MDC\_IDC\_STAT\_EPISODE\_VENDOR\_TYPE^MDC|7|771112^MDC\_IDC\_ENUM\_  
EPISODE\_VENDOR\_TYPE\_BSX-Epis\_ICM\_Tachy\_Symptom^MDC|||||F  
OBX|108|NM|738000^MDC\_IDC\_STAT\_EPISODE\_RECENT\_COUNT^MDC|7|1|||||F  
OBX|109|DTM|738017^MDC\_IDC\_STAT\_EPISODE\_RECENT\_COUNT\_DTM\_START^MDC|7|20190805|||||F  
OBX|110|DTM|738018^MDC\_IDC\_STAT\_EPISODE\_RECENT\_COUNT\_DTM\_END^MDC|7|20190805|||||F  
OBX|111|NM|738032^MDC\_IDC\_STAT\_EPISODE\_TOTAL\_COUNT^MDC|7|1|||||F  
OBX|112|DTM|738049^MDC\_IDC\_STAT\_EPISODE\_TOTAL\_COUNT\_DTM\_START^MDC|7|20190805|||||F  
OBX|113|DTM|738050^MDC\_IDC\_STAT\_EPISODE\_TOTAL\_COUNT\_DTM\_END^MDC|7|20190805|||||F  
OBX|114|ED|18750-0^Bericht zur kardialen Elektrophysiologie^LN^^Bericht zur Nachkontrolle||  
Anwendung^PDF^^Base64^^{kodiertes PDF hier enthalten}|||||F|||201908051529-0500  
OBX|115|ED|18750-0^Bericht zur kardialen Elektrophysiologie^LN^^Eingangs-S-EKG-Bericht|1|  
Anwendung^PDF^^Base64^^{kodiertes PDF hier enthalten}|||||F|||201908051529-0500



## BEISPIEL-NACHRICHT 3 – ANDERE THERAPIEGERÄTE (NICHT S-ICD)

```
MSH|^~\&|LATITUDE|BOSTON SCIENTIFIC||TestClinic|201305092136+0000||ORU^R01^ORU_R01
|0|P|2.6||||UNICODE UTF-8|de^German||IHE_PCD_009^IHE_PCD
^1.3.6.1.4.1.19376.1.6.1.9.1^ISO
PID|1||Modell:N119/Seriennummer:900141^^^BSX^U||testLastName^testName^^^^^I
~testAuxLName^testAuxFName^^^^^P||19680215|U
PV1||R
PV2|||||TestDeviceGroup^^1
OBR|1||1000000916|754054^MDC_IDC_ENUM_SESS_TYPE_RemotePatientInitiated
^MDC||201001151330-0500|||||F
NTE|1||2. Feb. 2012 00:00 - Gelber Alarm - AF Burden von mindestens 3,0 Stunden
in einem Zeitraum von 24 Stunden.
NTE|2||2. Feb. 2012 00:00 - Gelber Alarm - AF Burden von mindestens 3,0 Stunden
in einem Zeitraum von 24 Stunden zwischen dem 11. Januar 2010 23:00 Uhr und dem 12.
Januar 2010 00:00 Uhr.
NTE|3||2. Feb. 2012 00:00 - Gelber Alarm - Cardiale Resynchronisationstherapie-Stimulation
von < 1 %. Stimulation betrug 2 % zwischen dem 11. Januar 2010, 23:00 Uhr, und dem 12.
Januar 2010, 00:00 Uhr.
NTE|4||2. Feb. 2012 00:00 - Gelber Alarm - Rechtsventrikuläre Stimulation von > 1 %.
Stimulation betrug 2 % zwischen dem 11. Januar 2010, 23:00 Uhr, und dem 12. Januar 2010,
00:00 Uhr.
NTE|5||2. Feb. 2012 00:00 - Gelber Alarm - vom Patienten ausgelöstes Ereignis gespeichert.
NTE|6||2. Feb. 2012 00:00 - Gelber Alarm - Gewichtszunahme von mindestens 5 lb. in einer
Woche oder von mindestens 2 lb. im Durchschnitt über einen Zeitraum von zwei
oder mehr Tagen.
NTE|7||2. Feb. 2012 00:00 - Gelber Alarm - Gewichtsabnahme von mindestens 5 lb. in einer
Woche oder von mindestens 2 lb. im Durchschnitt über einen Zeitraum von zwei
oder mehr Tagen.
NTE|8||2. Feb. 2012 00:00 - Gelber Alarm - Austauschindikator erreicht am 12. Januar
2010 00:00. Planen Sie den Austausch dieses Geräts.
NTE|9||2. Feb. 2012 00:00 - Gelber Alarm - Die Spannung war zu niedrig für die
projizierte Rest-Kapazität.
NTE|10||2. Feb. 2012 00:00 - Roter Alarm - Fernüberwachung deaktiviert am 12. Januar 2010
00:00 aufgrund begrenzter Batteriekapazität (Austauschindikator erreicht am 12.
Februar 2010 um 00:00 Uhr).
NTE|11||2. Feb. 2012 00:00 - Gelber Alarm - Korruption in der Therapiehistorie entdeckt.
Zuvor gespeicherte Therapieverlaufsdaten wurden gelöscht.
NTE|12||2. Feb. 2012 00:00 - Roter Alarm - Mögliche Fehlfunktion des Geräts
(Fehlercode 1011).
NTE|13||2. Feb. 2012 00:00 - Roter Alarm - Mögliche Fehlfunktion des Geräts
(Fehlercode 1007).
NTE|14||2. Feb. 2012 00:00 - Roter Alarm - Mögliche Fehlfunktion des Geräts
(Fehlercode 1009).
NTE|15||2. Feb. 2012 00:00 - Roter Alarm - Gerät befindet sich im Sicherheits-Modus.
Zum Patientenschutz hat das Aggregat in den Sicherheitsmodus umgeschaltet.
NTE|16||2. Feb. 2012 00:00 - Gelber Alarm - Automatische rechtsventrikuläre Reizschwelle
erkannt als > programmierte Amplitude oder ausgesetzt.
NTE|17||2. Feb. 2012 00:00 - Gelber Alarm - Automatische atriale Reizschwelle erkannt
als > programmierte Amplitude oder ausgesetzt.
NTE|18||2. Feb. 2012 00:00 - Roter Alarm - Schock-Elektrodenimp außerhalb des
zulässigen Bereichs.
NTE|19||2. Feb. 2012 00:00 - Roter Alarm - Niedrige Schock-Elektrodenimp erkannt
beim Versuch einer Schockabgabe.
NTE|20||2. Feb. 2012 00:00 - Roter Alarm - Hohe Schock-Elektrodenimp erkannt beim
Versuch einer Schockabgabe.
NTE|21||2. Feb. 2012 00:00 - Roter Alarm - Hochspannung an der Schock-Elektrode während
der Aufladung.
NTE|22||2. Feb. 2012 00:00 - Roter Alarm - Elektrokauter-Schutz ist aktiv.
```

NTE|23||2. Feb. 2012 00:00 - Gelber Alarm - VT-Episode aufgetreten (V>A).

NTE|24||2. Feb. 2012 00:00 - Gelber Alarm - Der Brady-Modus des Geräts ist ausgeschaltet. Brady-Therapie wird nicht abgegeben.

NTE|25||2. Feb. 2012 00:00 - Gelber Alarm - Widerstand der linksventrikulären Stimulationselektrode außerhalb des zulässigen Bereichs.

NTE|26||2. Feb. 2012 00:00 - Gelber Alarm - Widerstand der atrialen Stimulationselektrode außerhalb des zulässigen Bereichs.

NTE|27||2. Feb. 2012 00:00 - Gelber Alarm - RV intrinsische Amplitude außerhalb des zulässigen Bereichs.

NTE|28||2. Feb. 2012 00:00 - Gelber Alarm - Intrinsische Amplitude außerhalb des zulässigen Bereichs.

NTE|29||2. Feb. 2012 00:00 - Gelber Alarm - LV intrinsische Amplitude außerhalb des zulässigen Bereichs.

NTE|30||2. Feb. 2012 00:00 - Gelber Alarm - Atriale intrinsische Amplitude außerhalb des zulässigen Bereichs.

NTE|31||2. Feb. 2012 00:00 - Roter Alarm - Widerstand der rechtsventrikulären Stimulationselektrode außerhalb des zulässigen Bereichs.

NTE|32||2. Feb. 2012 00:00 - Roter Alarm - Widerstand der Stimulationselektrode außerhalb des zulässigen Bereichs.

NTE|33||2. Feb. 2012 00:00 - Gelber Alarm - Ventrikuläre Schocktherapie abgegeben zur Konvertierung der Arrhythmie.

NTE|34||2. Feb. 2012 00:00 - Gelber Alarm - Episode beschleunigter ventrikulärer Arrhythmie.

NTE|35||2. Feb. 2012 00:00 - Roter Alarm - Der V-Tachy Modus ist auf einen anderen Wert als „Überw.+Therapie“ eingestellt.

NTE|36||2. Feb. 2012 00:00 - Roter Alarm - Elektroden-Prüfungs-Benachrichtigung wegen abrupter Änderung der rechtsventrikulären Stimulationselektrodenimpedanz in den letzten 7 Tagen.

NTE|37||2. Feb. 2012 00:00 - Roter Alarm - Elektroden-Prüfungs-Benachrichtigung wegen Episode mit potentiell rechtsventrikulären nicht-physiologischen Signal.

NTE|38||2. Feb. 2012 00:00 - Gelber Alarm - Automatische linksventrikuläre Reizschwelle erkannt als programmierte Amplitude oder ausgesetzt.

OBX|1|ST|739536^MDC\_IDC\_EPISODE\_ID^MDC|1|MRI-16|||F

OBX|2|DTM|739552^MDC\_IDC\_EPISODE\_DTM^MDC|1|200101020304|||F

OBX|3|CWE|739568^MDC\_IDC\_EPISODE\_TYPE^MDC|1|754888  
^MDC\_IDC\_ENUM\_EPISODE\_TYPE\_Epis\_Other^MDC|||F

OBX|4|CWE|739600^MDC\_IDC\_EPISODE\_VENDOR\_TYPE^MDC|1|||F

OBX|5|NM|739712^MDC\_IDC\_EPISODE\_DURATION^MDC|1|100|s|||F

OBX|6|ST|739680^MDC\_IDC\_EPISODE\_DETECTION\_THERAPY\_DETAILS  
^MDC|1|MRT-Schutz-Modus|||F

OBX|7|ST|739536^MDC\_IDC\_EPISODE\_ID^MDC|2|LVAT-15|||F

OBX|8|DTM|739552^MDC\_IDC\_EPISODE\_DTM^MDC|2|200101020304|||F

OBX|9|CWE|739568^MDC\_IDC\_EPISODE\_TYPE^MDC|2|754888  
^MDC\_IDC\_ENUM\_EPISODE\_TYPE\_Epis\_Other^MDC|||F

OBX|10|CWE|739600^MDC\_IDC\_EPISODE\_VENDOR\_TYPE^MDC|2|||F

OBX|11|NM|739712^MDC\_IDC\_EPISODE\_DURATION^MDC|2|100|s|||F

OBX|12|ST|739680^MDC\_IDC\_EPISODE\_DETECTION\_THERAPY\_DETAILS^MDC|2|LV Auto|||F

OBX|13|ST|739536^MDC\_IDC\_EPISODE\_ID^MDC|3|RVAT-14|||F

OBX|14|DTM|739552^MDC\_IDC\_EPISODE\_DTM^MDC|3|200101020304|||F

OBX|15|CWE|739568^MDC\_IDC\_EPISODE\_TYPE^MDC|3|754888  
^MDC\_IDC\_ENUM\_EPISODE\_TYPE\_Epis\_Other^MDC|||F

OBX|16|CWE|739600^MDC\_IDC\_EPISODE\_VENDOR\_TYPE^MDC|3|||F

OBX|17|NM|739712^MDC\_IDC\_EPISODE\_DURATION^MDC|3|100|s|||F

OBX|18|ST|739680^MDC\_IDC\_EPISODE\_DETECTION\_THERAPY\_DETAILS^MDC|3|RV Autom.|||F

OBX|19|ST|739536^MDC\_IDC\_EPISODE\_ID^MDC|4|APM-13|||F

OBX|20|DTM|739552^MDC\_IDC\_EPISODE\_DTM^MDC|4|200101020304|||F

OBX|21|CWE|739568^MDC\_IDC\_EPISODE\_TYPE^MDC|4|754888  
^MDC\_IDC\_ENUM\_EPISODE\_TYPE\_Epis\_PeriodicEGM^MDC|||F

OBX|22|CWE|739600^MDC\_IDC\_EPISODE\_VENDOR\_TYPE^MDC|4|771085  
^MDC\_IDC\_ENUM\_EPISODE\_VENDOR\_TYPE\_BSX-Epis\_APMRT^MDC|||F

OBX|23|ST|739680^MDC\_IDC\_EPISODE\_DETECTION\_THERAPY\_DETAILS^MDC|4|Eingangs-EGM|||||F  
OBX|24|ST|739536^MDC\_IDC\_EPISODE\_ID^MDC|5|PTM-12|||||F  
OBX|25|DTM|739552^MDC\_IDC\_EPISODE\_DTM^MDC|5|200101020304|||||F  
OBX|26|CWE|739568^MDC\_IDC\_EPISODE\_TYPE^MDC|5|754887  
^MDC\_IDC\_ENUM\_EPISODE\_TYPE\_Epis\_PatientActivated^MDC|||||F  
OBX|27|CWE|739600^MDC\_IDC\_EPISODE\_VENDOR\_TYPE^MDC|5|771080  
^MDC\_IDC\_ENUM\_EPISODE\_VENDOR\_TYPE\_BSX-Epis\_PTM^MDC|||||F  
OBX|28|NM|739648^MDC\_IDC\_EPISODE\_VENTRICULAR\_INTERVAL\_AT\_DETECTION  
^MDC|5|30000|ms|||||F  
OBX|29|NM|739712^MDC\_IDC\_EPISODE\_DURATION^MDC|5|100|s|||||F  
OBX|30|ST|739680^MDC\_IDC\_EPISODE\_DETECTION\_THERAPY\_DETAILS^MDC|5|PTM|||||F  
OBX|31|ST|739536^MDC\_IDC\_EPISODE\_ID^MDC|6|RAAT-11|||||F  
OBX|32|DTM|739552^MDC\_IDC\_EPISODE\_DTM^MDC|6|200101020304|||||F  
OBX|33|CWE|739568^MDC\_IDC\_EPISODE\_TYPE^MDC|6|754888  
^MDC\_IDC\_ENUM\_EPISODE\_TYPE\_Epis\_Other^MDC|||||F  
OBX|34|CWE|739600^MDC\_IDC\_EPISODE\_VENDOR\_TYPE^MDC|6|||||F  
OBX|35|NM|739712^MDC\_IDC\_EPISODE\_DURATION^MDC|6|100|s|||||F  
OBX|36|ST|739680^MDC\_IDC\_EPISODE\_DETECTION\_THERAPY\_DETAILS^MDC|6|RA Auto|||||F  
OBX|37|ST|739536^MDC\_IDC\_EPISODE\_ID^MDC|7|RYTHMIQ-10|||||F  
OBX|38|DTM|739552^MDC\_IDC\_EPISODE\_DTM^MDC|7|200101020304|||||F  
OBX|39|CWE|739568^MDC\_IDC\_EPISODE\_TYPE^MDC|7|754888  
^MDC\_IDC\_ENUM\_EPISODE\_TYPE\_Epis\_Other^MDC|||||F  
OBX|40|CWE|739600^MDC\_IDC\_EPISODE\_VENDOR\_TYPE^MDC|7|771084  
^MDC\_IDC\_ENUM\_EPISODE\_VENDOR\_TYPE\_BSX-Epis\_RMS^MDC|||||F  
OBX|41|NM|739648  
^MDC\_IDC\_EPISODE\_VENTRICULAR\_INTERVAL\_AT\_DETECTION^MDC|7|30000|ms|||||F  
OBX|42|NM|739712^MDC\_IDC\_EPISODE\_DURATION^MDC|7|100|s|||||F  
OBX|43|ST|739680^MDC\_IDC\_EPISODE\_DETECTION\_THERAPY\_DETAILS^MDC|7|RYTHMIQ|||||F  
OBX|44|ST|739536^MDC\_IDC\_EPISODE\_ID^MDC|8|RMS-9|||||F  
OBX|45|DTM|739552^MDC\_IDC\_EPISODE\_DTM^MDC|8|200101020304|||||F  
OBX|46|CWE|739568^MDC\_IDC\_EPISODE\_TYPE  
^MDC|8|754888^MDC\_IDC\_ENUM\_EPISODE\_TYPE\_Epis\_Other^MDC|||||F  
OBX|47|CWE|739600^MDC\_IDC\_EPISODE\_VENDOR\_TYPE^MDC|8|771084  
^MDC\_IDC\_ENUM\_EPISODE\_VENDOR\_TYPE\_BSX-Epis\_RMS^MDC|||||F  
OBX|48|NM|739648  
^MDC\_IDC\_EPISODE\_VENTRICULAR\_INTERVAL\_AT\_DETECTION^MDC|8|30000|ms|||||F  
OBX|49|NM|739712^MDC\_IDC\_EPISODE\_DURATION^MDC|8|100|s|||||F  
OBX|50|ST|739680^MDC\_IDC\_EPISODE\_DETECTION\_THERAPY\_DETAILS^MDC|8|RMS|||||F  
OBX|51|ST|739536^MDC\_IDC\_EPISODE\_ID^MDC|9|V-8|||||F  
OBX|52|DTM|739552^MDC\_IDC\_EPISODE\_DTM^MDC|9|200101020304|||||F  
OBX|53|CWE|739568^MDC\_IDC\_EPISODE\_TYPE  
^MDC|9|754881^MDC\_IDC\_ENUM\_EPISODE\_TYPE\_Epis\_VF^MDC|||||F  
OBX|54|CWE|739600^MDC\_IDC\_EPISODE\_VENDOR\_TYPE  
^MDC|9|771073^MDC\_IDC\_ENUM\_EPISODE\_VENDOR\_TYPE\_BSX-Epis\_VF^MDC|||||F  
OBX|55|CWE|739584^MDC\_IDC\_EPISODE\_TYPE\_INDUCED^MDC|9|755329  
^MDC\_IDC\_ENUM\_EPISODE\_TYPE\_INDUCED\_YES^MDC|||||F  
OBX|56|NM|739648  
^MDC\_IDC\_EPISODE\_VENTRICULAR\_INTERVAL\_AT\_DETECTION^MDC|9|30000|ms|||||F  
OBX|57|NM|739712^MDC\_IDC\_EPISODE\_DURATION^MDC|9|100|s|||||F  
OBX|58|ST|739680  
^MDC\_IDC\_EPISODE\_DETECTION\_THERAPY\_DETAILS^MDC|9|VF ATPx1, 0.1J, 0.2J, 31Jx2|||||F  
OBX|59|ST|739536^MDC\_IDC\_EPISODE\_ID^MDC|10|PMT-7|||||F  
OBX|60|DTM|739552^MDC\_IDC\_EPISODE\_DTM^MDC|10|200101020304|||||F  
OBX|61|CWE|739568^MDC\_IDC\_EPISODE\_TYPE^MDC|10|754888  
^MDC\_IDC\_ENUM\_EPISODE\_TYPE\_Epis\_Other^MDC|||||F  
OBX|62|CWE|739600^MDC\_IDC\_EPISODE\_VENDOR\_TYPE^MDC|10|771079  
^MDC\_IDC\_ENUM\_EPISODE\_VENDOR\_TYPE\_BSX-Epis\_PMT^MDC|||||F  
OBX|63|NM|739648^MDC\_IDC\_EPISODE\_VENTRICULAR\_INTERVAL\_AT\_DETECTION  
^MDC|10|30000|ms|||||F

OBX|64|NM|739712^MDC\_IDC\_EPISODE\_DURATION^MDC|10|100|s||||F  
OBX|65|ST|739680^MDC\_IDC\_EPISODE\_DETECTION\_THERAPY\_DETAILS^MDC|10|PMT||||F  
OBX|66|ST|739536^MDC\_IDC\_EPISODE\_ID^MDC|11|V-6||||F  
OBX|67|DTM|739552^MDC\_IDC\_EPISODE\_DTM^MDC|11|200101020304||||F  
OBX|68|CWE|739568^MDC\_IDC\_EPISODE\_TYPE^MDC|11|754882  
^MDC\_IDC\_ENUM\_EPISODE\_TYPE\_Epis\_VT^MDC|11|V-6||||F  
OBX|69|CWE|739600^MDC\_IDC\_EPISODE\_VENDOR\_TYPE^MDC|11|771075  
^MDC\_IDC\_ENUM\_EPISODE\_VENDOR\_TYPE\_BSX-Epis\_VT-1^MDC|11|V-6||||F  
OBX|70|CWE|739584^MDC\_IDC\_EPISODE\_TYPE\_INDUCED^MDC|11|755329  
^MDC\_IDC\_ENUM\_EPISODE\_TYPE\_INDUCED\_YES^MDC|11|V-6||||F  
OBX|71|NM|739648^MDC\_IDC\_EPISODE\_VENTRICULAR\_INTERVAL\_AT\_DETECTION  
^MDC|11|30000|ms||||F  
OBX|72|NM|739712^MDC\_IDC\_EPISODE\_DURATION^MDC|11|100|s||||F  
OBX|73|ST|739680^MDC\_IDC\_EPISODE\_DETECTION\_THERAPY\_DETAILS  
^MDC|11|VT-1 ATPx1, 0.1J, 0.2J, 31Jx2||||F  
OBX|74|ST|739536^MDC\_IDC\_EPISODE\_ID^MDC|12|ATR-5||||F  
OBX|75|DTM|739552^MDC\_IDC\_EPISODE\_DTM^MDC|12|200101020304||||F  
OBX|76|CWE|739568^MDC\_IDC\_EPISODE\_TYPE^MDC|12|754883  
^MDC\_IDC\_ENUM\_EPISODE\_TYPE\_Epis\_ATAF^MDC|12|V-6||||F  
OBX|77|CWE|739600^MDC\_IDC\_EPISODE\_VENDOR\_TYPE^MDC|12|771078  
^MDC\_IDC\_ENUM\_EPISODE\_VENDOR\_TYPE\_BSX-Epis\_ATR^MDC|12|V-6||||F  
OBX|78|NM|739616^MDC\_IDC\_EPISODE\_ATRIAL\_INTERVAL\_AT\_DETECTION^MDC|12|20000|ms||||F  
OBX|79|NM|739712^MDC\_IDC\_EPISODE\_DURATION^MDC|12|100|s||||F  
OBX|80|ST|739680^MDC\_IDC\_EPISODE\_DETECTION\_THERAPY\_DETAILS^MDC|12|ATR||||F  
OBX|81|ST|739536^MDC\_IDC\_EPISODE\_ID^MDC|13|V-4||||F  
OBX|82|DTM|739552^MDC\_IDC\_EPISODE\_DTM^MDC|13|200101020304||||F  
OBX|83|CWE|739568^MDC\_IDC\_EPISODE\_TYPE^MDC|13|754882  
^MDC\_IDC\_ENUM\_EPISODE\_TYPE\_Epis\_VT^MDC|13|V-4||||F  
OBX|84|CWE|739600^MDC\_IDC\_EPISODE\_VENDOR\_TYPE^MDC|13|771077  
^MDC\_IDC\_ENUM\_EPISODE\_VENDOR\_TYPE\_BSX-Epis\_NSVT^MDC|13|V-4||||F  
OBX|85|CWE|739584^MDC\_IDC\_EPISODE\_TYPE\_INDUCED^MDC|13|755329  
^MDC\_IDC\_ENUM\_EPISODE\_TYPE\_INDUCED\_YES^MDC|13|V-4||||F  
OBX|86|NM|739648^MDC\_IDC\_EPISODE\_VENTRICULAR\_INTERVAL\_AT\_DETECTION  
^MDC|13|30000|ms||||F  
OBX|87|NM|739712^MDC\_IDC\_EPISODE\_DURATION^MDC|13|100|s||||F  
OBX|88|ST|739680^MDC\_IDC\_EPISODE\_DETECTION\_THERAPY\_DETAILS^MDC|13|NonSustV||||F  
OBX|89|ST|739536^MDC\_IDC\_EPISODE\_ID^MDC|14|V-3|4||||F  
OBX|90|DTM|739552^MDC\_IDC\_EPISODE\_DTM^MDC|14|200101020304||||F  
OBX|91|CWE|739568^MDC\_IDC\_EPISODE\_TYPE^MDC|14|754882  
^MDC\_IDC\_ENUM\_EPISODE\_TYPE\_Epis\_VT^MDC|14|V-3|4||||F  
OBX|92|CWE|739600^MDC\_IDC\_EPISODE\_VENDOR\_TYPE^MDC|14|771074  
^MDC\_IDC\_ENUM\_EPISODE\_VENDOR\_TYPE\_BSX-Epis\_VT^MDC|14|V-3|4||||F  
OBX|93|CWE|739584^MDC\_IDC\_EPISODE\_TYPE\_INDUCED^MDC|14|755329  
^MDC\_IDC\_ENUM\_EPISODE\_TYPE\_INDUCED\_YES^MDC|14|V-3|4||||F  
OBX|94|NM|739648^MDC\_IDC\_EPISODE\_VENTRICULAR\_INTERVAL\_AT\_DETECTION  
^MDC|14|30000|ms||||F  
OBX|95|NM|739712^MDC\_IDC\_EPISODE\_DURATION^MDC|14|100|s|11|F  
OBX|96|ST|739680^MDC\_IDC\_EPISODE\_DETECTION\_THERAPY\_DETAILS  
^MDC|14|VT ATPx1, 0.1J, 0.2J, 31Jx2||||F  
OBX|97|ST|739536^MDC\_IDC\_EPISODE\_ID^MDC|15|SBR-2||||F  
OBX|98|DTM|739552^MDC\_IDC\_EPISODE\_DTM^MDC|15|200101020304|0||||F  
OBX|99|CWE|739568^MDC\_IDC\_EPISODE\_TYPE^MDC|15|754888  
^MDC\_IDC\_ENUM\_EPISODE\_TYPE\_Epis\_Other^MDC|15|SBR-2||||F  
OBX|100|CWE|739600^MDC\_IDC\_EPISODE\_VENDOR\_TYPE^MDC|15|11|11|F  
OBX|101|NM|739616^MDC\_IDC\_EPISODE\_ATRIAL\_INTERVAL\_AT\_DETECTION^MDC|15|20000|ms||||F  
OBX|102|NM|739712^MDC\_IDC\_EPISODE\_DURATION^MDC|15|100|s||||F  
OBX|103|ST|739680^MDC\_IDC\_EPISODE\_DETECTION\_THERAPY\_DETAILS^MDC|15|SBR||||F  
OBX|104|ST|739536^MDC\_IDC\_EPISODE\_ID^MDC|16|V-1||||F  
OBX|105|DTM|739552^MDC\_IDC\_EPISODE\_DTM^MDC|16|200101020304||||F

OBX|106|CWE|739568^MDC\_IDC\_EPISODE\_TYPE^MDC|16|754888  
^MDC\_IDC\_ENUM\_EPISODE\_TYPE\_Epis\_Other^MDC|||||F  
OBX|107|CWE|739600^MDC\_IDC\_EPISODE\_VENDOR\_TYPE^MDC|16|||||F  
OBX|108|CWE|739584^MDC\_IDC\_EPISODE\_TYPE\_INDUCED^MDC|16|755329  
^MDC\_IDC\_ENUM\_EPISODE\_TYPE\_INDUCED\_YES^MDC|||||F  
OBX|109|NM|739648^MDC\_IDC\_EPISODE\_VENTRICULAR\_INTERVAL\_AT\_DETECTION  
^MDC|16|30000|ms|||||F  
OBX|110|NM|739712^MDC\_IDC\_EPISODE\_DURATION^MDC|16|100|s|||||F  
OBX|111|ST|739680^MDC\_IDC\_EPISODE\_DETECTION\_THERAPY\_DETAILS  
^MDC|16|Bef. V-Therapie^abgegeben|||||F  
OBX|112|ED|18750-0^Bericht zur kardialen Elektrophysiologie^LN||Anwendung^PDF^  
^Base64^{kodiertes PDF hier enthalten}|||||F|||201001151330-0500  
OBX|113|ED|18750-0^Bericht zur kardialen Elektrophysiologie^LN|4|Anwendung^PDF^  
^Base64^{kodiertes PDF hier enthalten}|||||F|||201001151330-0500  
OBX|114|CWE|720897^MDC\_IDC\_DEV\_TYPE^MDC||753665^MDC\_IDC\_ENUM\_DEV\_TYPE\_IPG^MDC|||||F  
OBX|115|ST|720898^MDC\_IDC\_DEV\_MODEL^MDC||N119|||||F  
OBX|116|ST|720899^MDC\_IDC\_DEV\_SERIAL^MDC||900141|||||F  
OBX|117|CWE|720900^MDC\_IDC\_DEV\_MFG^MDC||753732^MDC\_IDC\_ENUM\_MFG\_BSX^MDC|||||F  
OBX|118|DTM|720901^MDC\_IDC\_DEV\_IMPLANT\_DT^MDC||20120513|||||F  
OBX|119|ST|720961^MDC\_IDC\_LEAD\_MODEL^MDC|1|12345|||||F  
OBX|120|ST|720962^MDC\_IDC\_LEAD\_SERIAL^MDC|1|6789|||||F  
OBX|121|CWE|720963^MDC\_IDC\_LEAD\_MFG^MDC|1|753731^MDC\_IDC\_ENUM\_MFG\_BIO^MDC|||||F  
OBX|122|CWE|720965^MDC\_IDC\_LEAD\_POLARITY\_TYPE^MDC|1|753793  
^MDC\_IDC\_ENUM\_LEAD\_POLARITY\_TYPE\_UNI^MDC|||||F  
OBX|123|DTM|720964^MDC\_IDC\_LEAD\_IMPLANT\_DT^MDC|1|201205|||||F  
OBX|124|CWE|720966^MDC\_IDC\_LEAD\_LOCATION^MDC|1|753858  
^MDC\_IDC\_ENUM\_LEAD\_LOCATION\_CHAMBER\_LV^MDC|||0|||F  
OBX|125|CWE|720967^MDC\_IDC\_LEAD\_LOCATION\_DETAIL\_1  
^MDC|1|753922^MDC\_IDC\_ENUM\_LEAD\_LOCATION\_DETAIL\_Apex^MDC|||||F  
OBX|126|CWE|720968^MDC\_IDC\_LEAD\_LOCATION\_DETAIL\_2^MDC|1|753925  
^MDC\_IDC\_ENUM\_LEAD\_LOCATION\_DETAIL\_VenaCava^MDC|||||F  
OBX|127|ST|720961^MDC\_IDC\_LEAD\_MODEL^MDC|2|12345|||||F  
OBX|128|ST|720962^MDC\_IDC\_LEAD\_SERIAL^MDC|2|6789|||||F  
OBX|129|CWE|720963^MDC\_IDC\_LEAD\_MFG^MDC|2|753731^MDC\_IDC\_ENUM\_MFG\_BIO^MDC|||||F  
OBX|130|CWE|720965^MDC\_IDC\_LEAD\_POLARITY\_TYPE^MDC|2|753793  
^MDC\_IDC\_ENUM\_LEAD\_POLARITY\_TYPE\_UNI^MDC|||0|||F  
OBX|131|DTM|720964^MDC\_IDC\_LEAD\_IMPLANT\_DT^MDC|2|201205|||||F  
OBX|132|CWE|720966^MDC\_IDC\_LEAD\_LOCATION^MDC|2|753858  
^MDC\_IDC\_ENUM\_LEAD\_LOCATION\_CHAMBER\_LV^MDC|||1|||F  
OBX|133|CWE|720967^MDC\_IDC\_LEAD\_LOCATION\_DETAIL\_1^MDC|2|753922  
^MDC\_IDC\_ENUM\_LEAD\_LOCATION\_DETAIL\_Apex^MDC|||||F  
OBX|134|CWE|720968^MDC\_IDC\_LEAD\_LOCATION\_DETAIL\_2^MDC|2|753925  
^MDC\_IDC\_ENUM\_LEAD\_LOCATION\_DETAIL\_VenaCava^MDC|||1|||F  
OBX|135|ST|720961^MDC\_IDC\_LEAD\_MODEL^MDC|3|12345|||||F  
OBX|136|ST|720962^MDC\_IDC\_LEAD\_SERIAL^MDC|3|6789|||||F  
OBX|137|CWE|720963^MDC\_IDC\_LEAD\_MFG^MDC|3|753731^MDC\_IDC\_ENUM\_MFG\_BIO^MDC|||||F  
OBX|138|CWE|720965^MDC\_IDC\_LEAD\_POLARITY\_TYPE^MDC|3|753793  
^MDC\_IDC\_ENUM\_LEAD\_POLARITY\_TYPE\_UNI^MDC|||1|||F  
OBX|139|DTM|720964^MDC\_IDC\_LEAD\_IMPLANT\_DT^MDC|3|201205|||||F  
OBX|140|CWE|720966^MDC\_IDC\_LEAD\_LOCATION^MDC|3|753858  
^MDC\_IDC\_ENUM\_LEAD\_LOCATION\_CHAMBER\_LV^MDC|||1|||F  
OBX|141|CWE|720967^MDC\_IDC\_LEAD\_LOCATION\_DETAIL\_1^MDC|3|753922  
^MDC\_IDC\_ENUM\_LEAD\_LOCATION\_DETAIL\_Apex^MDC|||1|||F  
OBX|142|CWE|720968^MDC\_IDC\_LEAD\_LOCATION\_DETAIL\_2^MDC|3|753925  
^MDC\_IDC\_ENUM\_LEAD\_LOCATION\_DETAIL\_VenaCava^MDC|||1|||F  
OBX|143|ST|720961^MDC\_IDC\_LEAD\_MODEL^MDC|4|12345|||||F  
OBX|144|ST|720962^MDC\_IDC\_LEAD\_SERIAL^MDC|4|6789|||||F  
OBX|145|CWE|720963^MDC\_IDC\_LEAD\_MFG^MDC|4|753731^MDC\_IDC\_ENUM\_MFG\_BIO^MDC|||||F  
OBX|146|CWE|720965^MDC\_IDC\_LEAD\_POLARITY\_TYPE^MDC|4|753793

```

^MDC_IDC_ENUM_LEAD_POLARITY_TYPE_UNI^MDC|||||F
OBX|147|DTM|720964^MDC_IDC_LEAD_IMPLANT_DT^MDC|4|201205|||||F
OBX|148|CWE|720966^MDC_IDC_LEAD_LOCATION^MDC|4|753858
^MDC_IDC_ENUM_LEAD_LOCATION_CHAMBER_LV^MDC|||||F
OBX|149|CWE|720967^MDC_IDC_LEAD_LOCATION_DETAIL_1^MDC|4|753922
^MDC_IDC_ENUM_LEAD_LOCATION_DETAIL_Apex^MDC|||||F
OBX|150|CWE|720968^MDC_IDC_LEAD_LOCATION_DETAIL_2^MDC|4|753925
^MDC_IDC_ENUM_LEAD_LOCATION_DETAIL_VenaCava^MDC|||||F
OBX|151|ST|720961^MDC_IDC_LEAD_MODEL^MDC|5|12345|||||F
OBX|152|ST|720962^MDC_IDC_LEAD_SERIAL^MDC|5|6789|||||F
OBX|153|CWE|720963^MDC_IDC_LEAD_MFG^MDC|5|753731^MDC_IDC_ENUM_MFG_BIO^MDC|||||F
OBX|154|CWE|720965^MDC_IDC_LEAD_POLARITY_TYPE^MDC|5|753793
^MDC_IDC_ENUM_LEAD_POLARITY_TYPE_UNI^MDC|||||F
OBX|155|DTM|720964^MDC_IDC_LEAD_IMPLANT_DT^MDC|5|201205|||||F
OBX|156|CWE|720966^MDC_IDC_LEAD_LOCATION^MDC|5|753858
^MDC_IDC_ENUM_LEAD_LOCATION_CHAMBER_LV^MDC|||||F
OBX|157|CWE|720967^MDC_IDC_LEAD_LOCATION_DETAIL_1^MDC|5|753922
^MDC_IDC_ENUM_LEAD_LOCATION_DETAIL_Apex^MDC|||||F
OBX|158|CWE|720968^MDC_IDC_LEAD_LOCATION_DETAIL_2^MDC|5|753925
^MDC_IDC_ENUM_LEAD_LOCATION_DETAIL_VenaCava^MDC|||||F
OBX|159|ST|720961^MDC_IDC_LEAD_MODEL^MDC|6|12345|||||F
OBX|160|ST|720962^MDC_IDC_LEAD_SERIAL^MDC|6|6789|||||F
OBX|161|CWE|720963^MDC_IDC_LEAD_MFG^MDC|6|753731^MDC_IDC_ENUM_MFG_BIO^MDC|||||F
OBX|162|CWE|720965^MDC_IDC_LEAD_POLARITY_TYPE^MDC|6|753793
^MDC_IDC_ENUM_LEAD_POLARITY_TYPE_UNI^MDC|||||F
OBX|163|DTM|720964^MDC_IDC_LEAD_IMPLANT_DT^MDC|6|201205|||||F
OBX|164|CWE|720966^MDC_IDC_LEAD_LOCATION^MDC|6|753858
^MDC_IDC_ENUM_LEAD_LOCATION_CHAMBER_LV^MDC|||||F
OBX|165|CWE|720967^MDC_IDC_LEAD_LOCATION_DETAIL_1^MDC|6|753922
^MDC_IDC_ENUM_LEAD_LOCATION_DETAIL_Apex^MDC|||||F
OBX|166|CWE|720968^MDC_IDC_LEAD_LOCATION_DETAIL_2^MDC|6|753925
^MDC_IDC_ENUM_LEAD_LOCATION_DETAIL_VenaCava^MDC|||||F
OBX|167|DTM|721025^MDC_IDC_SESS_DTM^MDC||201001021310-0600|||||F
OBX|168|CWE|721026^MDC_IDC_SESS_TYPE^MDC||754052
^MDC_IDC_ENUM_SESS_TYPE_RemoteDeviceInitiated^MDC|||||F
OBX|169|ST|721033^MDC_IDC_SESS_CLINIC_NAME
^MDC||abcdefghijklmnopqrstuvwxyabcdefghijklmnopqrstuvwxy|||||F
OBX|170|DTM|721216^MDC_IDC_MSMT_BATTERY_DTM^MDC||201205221755+0000|||||F
OBX|171|CWE|721280^MDC_IDC_MSMT_BATTERY_STATUS^MDC||754113
^MDC_IDC_ENUM_BATTERY_STATUS_BOS^MDC|||||F
OBX|172|NM|721472^MDC_IDC_MSMT_BATTERY_REMAINING_LONGEVITY^MDC||132|mó||>|||F
OBX|173|NM|721536^MDC_IDC_MSMT_BATTERY_REMAINING_PERCENTAGE^MDC||100%|||F
OBX|174|DTM|721664^MDC_IDC_MSMT_CAP_CHARGE_DTM^MDC||201205221755|||||F
OBX|175|NM|721728^MDC_IDC_MSMT_CAP_CHARGE_TIME^MDC||3.0|s|||F
OBX|176|CWE|721856^MDC_IDC_MSMT_CAP_CHARGE_TYPE^MDC||754178
^MDC_IDC_ENUM_CHARGE_TYPE_Reformation^MDC|||||F
OBX|177|DTM|721921^MDC_IDC_MSMT_LEADCHNL_RA_DTM_START^MDC||20121211|||||F
OBX|178|DTM|721922^MDC_IDC_MSMT_LEADCHNL_RA_DTM_END^MDC||20121211|||||F
OBX|179|CWE|721984^MDC_IDC_MSMT_LEADCHNL_RA_LEAD_CHANNEL_STATUS^MDC||754241
^MDC_IDC_ENUM_CHANNEL_STATUS_CheckLead^MDC|||||F
OBX|180|NM|722051
^MDC_IDC_MSMT_LEADCHNL_RA_SENSING_INTR_AMPL_MEAN^MDC||mV|NAV|||F||20121211
OBX|181|DTM|721925^MDC_IDC_MSMT_LEADCHNL_RV_DTM_START^MDC||19990102|||||F
OBX|182|DTM|721926^MDC_IDC_MSMT_LEADCHNL_RV_DTM_END^MDC||20121211|||||F
OBX|183|CWE|721985^MDC_IDC_MSMT_LEADCHNL_RV_LEAD_CHANNEL_STATUS^MDC||754241
^MDC_IDC_ENUM_CHANNEL_STATUS_CheckLead^MDC|||||F
OBX|184|NM|722055
^MDC_IDC_MSMT_LEADCHNL_RV_SENSING_INTR_AMPL_MEAN^MDC||0.1|mV||<|||F||20121211
OBX|185|DTM|721933^MDC_IDC_MSMT_LEADCHNL_LV_DTM_START^MDC||19990102|||||F

```

OBX|186|DTM|721934^MDC\_IDC\_MSMT\_LEADCHNL\_LV\_DTM\_END^MDC||20121211|||||F  
OBX|187|CWE|721987^MDC\_IDC\_MSMT\_LEADCHNL\_LV\_LEAD\_CHANNEL\_STATUS^MDC||754241  
^MDC\_IDC\_ENUM\_CHANNEL\_STATUS\_CheckLead^MDC|||||F  
OBX|188|NM|722063^MDC\_IDC\_MSMT\_LEADCHNL\_LV\_SENSING\_INTR\_AMPL\_MEAN  
^MDC||25.0|mV||>|||F|||20121211  
OBX|189|CWE|722112^MDC\_IDC\_MSMT\_LEADCHNL\_RA\_SENSING\_POLARITY^MDC||754305  
^MDC\_IDC\_ENUM\_POLARITY\_UNI^MDC|||||F  
OBX|190|CWE|722113^MDC\_IDC\_MSMT\_LEADCHNL\_RV\_SENSING\_POLARITY^MDC||754306  
^MDC\_IDC\_ENUM\_POLARITY\_BI^MDC|||||F  
OBX|191|CWE|722115^MDC\_IDC\_MSMT\_LEADCHNL\_LV\_SENSING\_POLARITY^MDC|||||OFF|||F  
OBX|192|NM|722176^MDC\_IDC\_MSMT\_LEADCHNL\_RA\_PACING\_THRESHOLD\_AMPLITUDE  
^MDC|||V||NAV|||F|||20121211  
OBX|193|NM|722177^MDC\_IDC\_MSMT\_LEADCHNL\_RV\_PACING\_THRESHOLD\_AMPLITUDE  
^MDC||3.0|V||>|||F|||20121211  
OBX|194|NM|722179^MDC\_IDC\_MSMT\_LEADCHNL\_LV\_PACING\_THRESHOLD\_AMPLITUDE  
^MDC||0.0|V|||F|||20121210  
OBX|195|NM|722240^MDC\_IDC\_MSMT\_LEADCHNL\_RA\_PACING\_THRESHOLD\_PULSEWIDTH  
^MDC||ms||NAV|||F|||19990102  
OBX|196|NM|722241^MDC\_IDC\_MSMT\_LEADCHNL\_RV\_PACING\_THRESHOLD\_PULSEWIDTH  
^MDC||0.4|ms|||F|||19990102  
OBX|197|NM|722243^MDC\_IDC\_MSMT\_LEADCHNL\_LV\_PACING\_THRESHOLD\_PULSEWIDTH  
^MDC||0.4|ms|||F|||19990102  
OBX|198|CWE|722304^MDC\_IDC\_MSMT\_LEADCHNL\_RA\_PACING\_THRESHOLD\_MEASUREMENT\_METHOD  
^MDC||754369^MDC\_IDC\_ENUM\_MEASUREMENT\_METHOD\_ProgrammerManual^MDC|||||F  
OBX|199|CWE|722305^MDC\_IDC\_MSMT\_LEADCHNL\_RV\_PACING\_THRESHOLD\_MEASUREMENT\_METHOD  
^MDC||754369^MDC\_IDC\_ENUM\_MEASUREMENT\_METHOD\_ProgrammerManual^MDC|||||F  
OBX|200|CWE|722307^MDC\_IDC\_MSMT\_LEADCHNL\_LV\_PACING\_THRESHOLD\_MEASUREMENT\_METHOD  
^MDC||754369^MDC\_IDC\_ENUM\_MEASUREMENT\_METHOD\_ProgrammerManual^MDC|||||F  
OBX|201|CWE|722368^MDC\_IDC\_MSMT\_LEADCHNL\_RA\_PACING\_THRESHOLD\_POLARITY^MDC||754305  
^MDC\_IDC\_ENUM\_POLARITY\_UNI^MDC|||||F  
OBX|202|CWE|722369^MDC\_IDC\_MSMT\_LEADCHNL\_RV\_PACING\_THRESHOLD\_POLARITY^MDC||754306  
^MDC\_IDC\_ENUM\_POLARITY\_BI^MDC|||||F  
OBX|203|CWE|722371^MDC\_IDC\_MSMT\_LEADCHNL\_LV\_PACING\_THRESHOLD\_POLARITY^MDC||754306  
^MDC\_IDC\_ENUM\_POLARITY\_BI^MDC|||||F  
OBX|204|NM|722432^MDC\_IDC\_MSMT\_LEADCHNL\_RA\_IMPEDANCE\_VALUE  
^MDC||200|ohms||<|||F|||20121211  
OBX|205|NM|722433^MDC\_IDC\_MSMT\_LEADCHNL\_RV\_IMPEDANCE VALUE  
^MDC||2000|ohms||>|||F|||20121211  
OBX|206|NM|722435^MDC\_IDC\_MSMT\_LEADCHNL\_LV\_IMPEDANCE VALUE  
^MDC||201|ohms|||F|||20121209  
OBX|207|CWE|722496^MDC\_IDC\_MSMT\_LEADCHNL\_RA\_IMPEDANCE\_POLARITY^MDC||754305  
^MDC\_IDC\_ENUM\_POLARITY\_UNI^MDC|||||F  
OBX|208|CWE|722497^MDC\_IDC\_MSMT\_LEADCHNL\_RV\_IMPEDANCE\_POLARITY^MDC||754305  
^MDC\_IDC\_ENUM\_POLARITY\_UNI^MDC|||||F  
OBX|209|CWE|722499^MDC\_IDC\_MSMT\_LEADCHNL\_LV\_IMPEDANCE\_POLARITY^MDC||754306  
^MDC\_IDC\_ENUM\_POLARITY\_BI^MDC|||||F  
OBX|210|DTM|722560^MDC\_IDC\_MSMT\_LEADHVCHNL\_DTM\_START^MDC|1|20121109|||F  
OBX|211|NM|722624^MDC\_IDC\_MSMT\_LEADHVCHNL\_IMPEDANCE^MDC|1||ohms||NAV||F  
OBX|212|CWE|722688^MDC\_IDC\_MSMT\_LEADHVCHNL\_MEASUREMENT\_TYPE  
^MDC|1|754433^MDC\_IDC\_ENUM\_HVCHNL\_MEASUREMENT\_TYPE\_LowVoltage^MDC|||||F  
OBX|213|CWE|722752^MDC\_IDC\_MSMT\_LEADHVCHNL\_STATUS^MDC|1|754241  
^MDC\_IDC\_ENUM\_CHANNEL\_STATUS\_CheckLead^MDC|||||F  
OBX|214|NM|729344^MDC\_IDC\_SET CRT\_LVRV\_DELAY^MDC||-100|ms|||||F  
OBX|215|CWE|729408^MDC\_IDC\_SET CRT\_PACED\_CHAMBERS^MDC||755265  
^MDC\_IDC\_ENUM\_CRT\_PACED\_CHAMBERS\_RV\_Only^MDC|||||F  
OBX|216|NM|729536^MDC\_IDC\_SET\_LEADCHNL\_RA\_SENSING\_SENSITIVITY^MDC||0.5|mV|||||F  
OBX|217|NM|729537^MDC\_IDC\_SET\_LEADCHNL\_RV\_SENSING\_SENSITIVITY^MDC||0.9|mV|||||F  
OBX|218|NM|729539^MDC\_IDC\_SET\_LEADCHNL\_LV\_SENSING\_SENSITIVITY^MDC||1.0|mV|||||F  
OBX|219|CWE|729600^MDC\_IDC\_SET\_LEADCHNL\_RA\_SENSING\_POLARITY^MDC|||||OFF|||F

```

OBX|220|CWE|729601^MDC_IDC_SET_LEADCHNL_RV_SENSING_POLARITY^MDC||754305
^MDC_IDC_ENUM_POLARITY_UNI^MDC|||||F
OBX|221|CWE|729676^MDC_IDC_SET_LEADCHNL_LV_SENSING_ANODE_LOCATION^MDC||754498
^MDC_IDC_ENUM_ELECTRODE_LOCATION_RV^MDC|||||F
OBX|222|CWE|729740^MDC_IDC_SET_LEADCHNL_LV_SENSING_ANODE_ELECTRODE^MDC|||||OFF|||F
OBX|223|CWE|729804^MDC_IDC_SET_LEADCHNL_LV_SENSING_CATHODE_LOCATION^MDC|||||OFF|||F
OBX|224|CWE|729868^MDC_IDC_SET_LEADCHNL_LV_SENSING_CATHODE_ELECTRODE
^MDC||754561^MDC_IDC_ENUM_ELECTRODE_NAME_Tip^MDC|||||F
OBX|225|CWE|729920^MDC_IDC_SET_LEADCHNL_RA_SENSING_ADAPTATION_MODE^MDC||754625
^MDC_IDC_ENUM_SENSING_ADAPTATION_MODE_AdaptiveSensing^MDC|||||F
OBX|226|CWE|729921^MDC_IDC_SET_LEADCHNL_RV_SENSING_ADAPTATION_MODE^MDC||754625
^MDC_IDC_ENUM_SENSING_ADAPTATION_MODE_AdaptiveSensing^MDC|||||F
OBX|227|CWE|729923^MDC_IDC_SET_LEADCHNL_LV_SENSING_ADAPTATION_MODE^MDC||754626
^MDC_IDC_ENUM_SENSING_ADAPTATION_MODE_FixedSensing^MDC|||||F
OBX|228|NM|729984^MDC_IDC_SET_LEADCHNL_RA_PACING_AMPLITUDE^MDC||5.1|V|||||F
OBX|229|NM|729985^MDC_IDC_SET_LEADCHNL_RV_PACING_AMPLITUDE^MDC||5.0|V|||||F
OBX|230|NM|729987^MDC_IDC_SET_LEADCHNL_LV_PACING_AMPLITUDE^MDC||2.8|V|||||F
OBX|231|NM|730048^MDC_IDC_SET_LEADCHNL_RA_PACING_PULSEWIDTH^MDC||100.0|ms|||||F
OBX|232|NM|730049^MDC_IDC_SET_LEADCHNL_RV_PACING_PULSEWIDTH^MDC||200.0|ms|||||F
OBX|233|NM|730051^MDC_IDC_SET_LEADCHNL_LV_PACING_PULSEWIDTH^MDC||300.0|ms|||||F
OBX|234|CWE|730112^MDC_IDC_SET_LEADCHNL_RA_PACING_POLARITY^MDC||754305
^MDC_IDC_ENUM_POLARITY_UNI^MDC|||||F
OBX|235|CWE|730113^MDC_IDC_SET_LEADCHNL_RV_PACING_POLARITY^MDC||754305
^MDC_IDC_ENUM_POLARITY_UNI^MDC|||||F
OBX|236|CWE|730188^MDC_IDC_SET_LEADCHNL_LV_PACING_ANODE_LOCATION^MDC||754498
^MDC_IDC_ENUM_ELECTRODE_LOCATION_RV^MDC|||||F
OBX|237|CWE|730252^MDC_IDC_SET_LEADCHNL_LV_PACING_ANODE_ELECTRODE^MDC||754564
^MDC_IDC_ENUM_ELECTRODE_NAME_Ring2^MDC|||||F
OBX|238|CWE|730316^MDC_IDC_SET_LEADCHNL_LV_PACING_CATHODE_LOCATION^MDC||754500
^MDC_IDC_ENUM_ELECTRODE_LOCATION_LV^MDC|||||F
OBX|239|CWE|730380^MDC_IDC_SET_LEADCHNL_LV_PACING_CATHODE_ELECTRODE^MDC||754566
^MDC_IDC_ENUM_ELECTRODE_NAME_Ring4^MDC|||||F
OBX|240|CWE|730432^MDC_IDC_SET_LEADCHNL_RA_PACING_CAPTURE_MODE^MDC||754690
^MDC_IDC_ENUM_PACING_CAPTURE_MODE_FixedPacing^MDC|||||F
OBX|241|CWE|730433^MDC_IDC_SET_LEADCHNL_RV_PACING_CAPTURE_MODE^MDC||754691
^MDC_IDC_ENUM_PACING_CAPTURE_MODE_MonitorCapture^MDC|||||F
OBX|242|CWE|730435^MDC_IDC_SET_LEADCHNL_LV_PACING_CAPTURE_MODE^MDC||754690
^MDC_IDC_ENUM_PACING_CAPTURE_MODE_FixedPacing^MDC|||||F
OBX|243|CWE|730752^MDC_IDC_SET_BRADY_MODE^MDC||754760^MDC_IDC_ENUM_BRADY_MODE_DDD
^MDC|||||F
OBX|244|NM|730880^MDC_IDC_SET_BRADY_LOWRATE^MDC||100|{beats}/min|||||F
OBX|245|ST|731072^MDC_IDC_SET_BRADY_SENSOR_TYPE^MDC||Akzelerometer + AMV|||||F
OBX|246|NM|731136^MDC_IDC_SET_BRADY_MAX_TRACKING_RATE^MDC||130|{beats}/min|||||F
OBX|247|NM|731200^MDC_IDC_SET_BRADY_MAX_SENSOR_RATE^MDC||180|{beats}/min|||||F
OBX|248|NM|731265^MDC_IDC_SET_BRADY_SAV_DELAY_HIGH^MDC||102|ms|||||F
OBX|249|NM|731266^MDC_IDC_SET_BRADY_SAV_DELAY_LOW^MDC||101|ms|||||F
OBX|250|NM|731329^MDC_IDC_SET_BRADY_PAV_DELAY_HIGH^MDC||104|ms|||||F
OBX|251|NM|731330^MDC_IDC_SET_BRADY_PAV_DELAY_LOW^MDC||103|ms|||||F
OBX|252|CWE|731392^MDC_IDC_SET_BRADY_AT_MODE_SWITCH_MODE^MDC||754763
^MDC_IDC_ENUM_BRADY_MODE_DDIR^MDC|||||F
OBX|253|NM|731456^MDC_IDC_SET_BRADY_AT_MODE_SWITCH_RATE^MDC||130|{beats}/min|||||F
OBX|254|CWE|731520^MDC_IDC_SET_TACHYTHERAPY_VSTAT^MDC||754817
^MDC_IDC_ENUM_THERAPY_STATUS_On^MDC|||||F
OBX|255|CWE|731648^MDC_IDC_SET_ZONE_TYPE^MDC|1|754945^MDC_IDC_ENUM_ZONE_TYPE_Zone_VF
^MDC|||||F
OBX|256|CWE|731712^MDC_IDC_SET_ZONE_VENDOR_TYPE^MDC|1|771139
^MDC_IDC_ENUM_ZONE_VENDOR_TYPE_BSX-Zone_VF^MDC|||||F
OBX|257|CWE|731776^MDC_IDC_SET_ZONE_STATUS^MDC|1|755009
^MDC_IDC_ENUM_ZONE_STATUS_Active^MDC|||||F

```



OBX|258|NM|731840^MDC\_IDC\_SET\_ZONE\_DETECTION\_INTERVAL^MDC|1|462|ms|||||F  
OBX|259|CWE|732097^MDC\_IDC\_SET\_ZONE\_TYPE\_ATP\_1^MDC|1|755073  
^MDC\_IDC\_ENUM\_ATP\_TYPE\_Burst^MDC|||||F  
OBX|260|NM|732161^MDC\_IDC\_SET\_ZONE\_NUM\_ATP\_SEQS\_1^MDC|1|1|||||F  
OBX|261|NM|732225^MDC\_IDC\_SET\_ZONE\_SHOCK\_ENERGY\_1^MDC|1|21.1|J|||||F  
OBX|262|NM|732289^MDC\_IDC\_SET\_ZONE\_NUM\_SHOCKS\_1^MDC|1|1|||||F  
OBX|263|NM|732226^MDC\_IDC\_SET\_ZONE\_SHOCK\_ENERGY\_2^MDC|1|31.1|J|||||F  
OBX|264|NM|732290^MDC\_IDC\_SET\_ZONE\_NUM\_SHOCKS\_2^MDC|1|1|||||F  
OBX|265|NM|732227^MDC\_IDC\_SET\_ZONE\_SHOCK\_ENERGY\_3^MDC|1|41.1|J|||||F  
OBX|266|NM|732291^MDC\_IDC\_SET\_ZONE\_NUM\_SHOCKS\_3^MDC|1|6|||||F  
OBX|267|CWE|731648^MDC\_IDC\_SET\_ZONE\_TYPE^MDC|2|754946^MDC\_IDC\_ENUM\_ZONE\_TYPE\_Zone\_VT  
^MDC|||||F  
OBX|268|CWE|731712^MDC\_IDC\_SET\_ZONE\_VENDOR\_TYPE^MDC|2|771137  
^MDC\_IDC\_ENUM\_ZONE\_VENDOR\_TYPE\_BSX-Zone\_VT^MDC|||||F  
OBX|269|CWE|731776^MDC\_IDC\_SET\_ZONE\_STATUS^MDC|2|755009  
^MDC\_IDC\_ENUM\_ZONE\_STATUS\_Active^MDC|||||F  
OBX|270|NM|731840^MDC\_IDC\_SET\_ZONE\_DETECTION\_INTERVAL^MDC|2|463|ms|||||F  
OBX|271|CWE|732097^MDC\_IDC\_SET\_ZONE\_TYPE\_ATP\_1^MDC|2|755073  
^MDC\_IDC\_ENUM\_ATP\_TYPE\_Burst^MDC|||||F  
OBX|272|NM|732161^MDC\_IDC\_SET\_ZONE\_NUM\_ATP\_SEQS\_1^MDC|2|2|||||F  
OBX|273|CWE|732098^MDC\_IDC\_SET\_ZONE\_TYPE\_ATP\_2^MDC|2|755074  
^MDC\_IDC\_ENUM\_ATP\_TYPE\_Ramp^MDC|||||F  
OBX|274|NM|732162^MDC\_IDC\_SET\_ZONE\_NUM\_ATP\_SEQS\_2^MDC|2|3|||||F  
OBX|275|NM|732225^MDC\_IDC\_SET\_ZONE\_SHOCK\_ENERGY\_1^MDC|2|22.2|J|||||F  
OBX|276|NM|732289^MDC\_IDC\_SET\_ZONE\_NUM\_SHOCKS\_1^MDC|2|1|||||F  
OBX|277|NM|732226^MDC\_IDC\_SET\_ZONE\_SHOCK\_ENERGY\_2^MDC|2|32.2|J|||||F  
OBX|278|NM|732290^MDC\_IDC\_SET\_ZONE\_NUM\_SHOCKS\_2^MDC|2|1|||||F  
OBX|279|NM|732227^MDC\_IDC\_SET\_ZONE\_SHOCK\_ENERGY\_3^MDC|2|42.2|J|||||F  
OBX|280|NM|732291^MDC\_IDC\_SET\_ZONE\_NUM\_SHOCKS\_3^MDC|2|3|||||F  
OBX|281|CWE|731648^MDC\_IDC\_SET\_ZONE\_TYPE^MDC|3|754946^MDC\_IDC\_ENUM\_ZONE\_TYPE\_Zone\_VT  
^MDC|||||F  
OBX|282|CWE|731712^MDC\_IDC\_SET\_ZONE\_VENDOR\_TYPE^MDC|3|771138  
^MDC\_IDC\_ENUM\_ZONE\_VENDOR\_TYPE\_BSX-Zone\_VT-1^MDC|||||F  
OBX|283|CWE|731776^MDC\_IDC\_SET\_ZONE\_STATUS^MDC|3|755009  
^MDC\_IDC\_ENUM\_ZONE\_STATUS\_Active^MDC|||||F  
OBX|284|NM|731840^MDC\_IDC\_SET\_ZONE\_DETECTION\_INTERVAL^MDC|3|465|ms|||||F  
OBX|285|CWE|732097^MDC\_IDC\_SET\_ZONE\_TYPE\_ATP\_1^MDC|3|755074  
^MDC\_IDC\_ENUM\_ATP\_TYPE\_Ramp^MDC|||||F  
OBX|286|NM|732161^MDC\_IDC\_SET\_ZONE\_NUM\_ATP\_SEQS\_1^MDC|3|4|||||F  
OBX|287|CWE|732098^MDC\_IDC\_SET\_ZONE\_TYPE\_ATP\_2^MDC|3|755076  
^MDC\_IDC\_ENUM\_ATP\_TYPE\_RampScan^MDC|||||F  
OBX|288|NM|732162^MDC\_IDC\_SET\_ZONE\_NUM\_ATP\_SEQS\_2^MDC|3|5|||||F  
OBX|289|NM|732225^MDC\_IDC\_SET\_ZONE\_SHOCK\_ENERGY\_1^MDC|3|23.2|J|||||F  
OBX|290|NM|732289^MDC\_IDC\_SET\_ZONE\_NUM\_SHOCKS\_1^MDC|3|1|||||F  
OBX|291|NM|732226^MDC\_IDC\_SET\_ZONE\_SHOCK\_ENERGY\_2^MDC|3|33.2|J|||||F  
OBX|292|NM|732290^MDC\_IDC\_SET\_ZONE\_NUM\_SHOCKS\_2^MDC|3|1|||||F  
OBX|293|NM|732227^MDC\_IDC\_SET\_ZONE\_SHOCK\_ENERGY\_3^MDC|3|43.2|J|||||F  
OBX|294|NM|732291^MDC\_IDC\_SET\_ZONE\_NUM\_SHOCKS\_3^MDC|3|2|||||F  
OBX|295|DTM|737489^MDC\_IDC\_STAT\_DTM\_START^MDC||20120522|||||F  
OBX|296|DTM|737490^MDC\_IDC\_STAT\_DTM\_END^MDC||20120522|||||F  
OBX|297|DTM|737505^MDC\_IDC\_STAT\_BRADY\_DTM\_START^MDC||20120522|||||F  
OBX|298|DTM|737506^MDC\_IDC\_STAT\_BRADY\_DTM\_END^MDC||20120522|||||F  
OBX|299|NM|737520^MDC\_IDC\_STAT\_BRADY\_RA\_PERCENT\_PACED^MDC||0|%|||||F  
OBX|300|NM|737536^MDC\_IDC\_STAT\_BRADY\_RV\_PERCENT\_PACED^MDC||0|%|||||F  
OBX|301|DTM|737777^MDC\_IDC\_STAT\_CRT\_DTM\_START^MDC||20120522|||||F  
OBX|302|DTM|737778^MDC\_IDC\_STAT\_CRT\_DTM\_END^MDC||20120522|||||F  
OBX|303|NM|737792^MDC\_IDC\_STAT\_CRT\_LV\_PERCENT\_PACED^MDC||0|%|||||F  
OBX|304|CWE|737952^MDC\_IDC\_STAT\_EPISODE\_TYPE^MDC|1|754882  
^MDC\_IDC\_ENUM\_EPISODE\_TYPE\_Epis\_VT^MDC|||||F




OBX|305|CWE|737984^MDC\_IDC\_STAT\_EPISODE\_VENDOR\_TYPE^MDC|1|771077  
^MDC\_IDC\_ENUM\_EPISODE\_VENDOR\_TYPE\_BSX-Epis\_NSVT^MDC|||||F  
OBX|306|NM|738000^MDC\_IDC\_STAT\_EPISODE\_RECENT\_COUNT^MDC|1|0|||||F  
OBX|307|DTM|738017^MDC\_IDC\_STAT\_EPISODE\_RECENT\_COUNT\_DTM\_START^MDC|1|20120522|||||F  
OBX|308|DTM|738018^MDC\_IDC\_STAT\_EPISODE\_RECENT\_COUNT\_DTM\_END^MDC|1|20120522|||||F  
OBX|309|CWE|737952^MDC\_IDC\_STAT\_EPISODE\_TYPE^MDC|1|754882  
^MDC\_IDC\_ENUM\_EPISODE\_TYPE\_Epis\_VT^MDC|||||F  
OBX|310|CWE|737984^MDC\_IDC\_STAT\_EPISODE\_VENDOR\_TYPE^MDC|1|||||F  
OBX|311|NM|738000^MDC\_IDC\_STAT\_EPISODE\_RECENT\_COUNT^MDC|1|0|||||F  
OBX|312|DTM|738017^MDC\_IDC\_STAT\_EPISODE\_RECENT\_COUNT\_DTM\_START^MDC|1|20120522|||||F  
OBX|313|DTM|738018^MDC\_IDC\_STAT\_EPISODE\_RECENT\_COUNT\_DTM\_END^MDC|1|20120522|||||F  
OBX|314|CWE|737952^MDC\_IDC\_STAT\_EPISODE\_TYPE^MDC|2|754884  
^MDC\_IDC\_ENUM\_EPISODE\_TYPE\_Epis\_SVT^MDC|||||F  
OBX|315|CWE|737984^MDC\_IDC\_STAT\_EPISODE\_VENDOR\_TYPE^MDC|2|771076  
MDC\_IDC\_ENUM\_EPISODE\_VENDOR\_TYPE\_BSX-Epis\_SVT^MDC|||||F  
OBX|316|NM|738000^MDC\_IDC\_STAT\_EPISODE\_RECENT\_COUNT^MDC|2|0|||||F  
OBX|317|DTM|738017^MDC\_IDC\_STAT\_EPISODE\_RECENT\_COUNT\_DTM\_START^MDC|2|20120522|||||F  
OBX|318|DTM|738018^MDC\_IDC\_STAT\_EPISODE\_RECENT\_COUNT\_DTM\_END^MDC|2|20120522|||||F  
OBX|319|CWE|737952^MDC\_IDC\_STAT\_EPISODE\_TYPE^MDC|4|754883  
^MDC\_IDC\_ENUM\_EPISODE\_TYPE\_Epis\_ATAF^MDC|||||F  
OBX|320|CWE|737984^MDC\_IDC\_STAT\_EPISODE\_VENDOR\_TYPE^MDC|4|771078  
^MDC\_IDC\_ENUM\_EPISODE\_VENDOR\_TYPE\_BSX-Epis\_ATR^MDC|||||F  
OBX|321|NM|738000^MDC\_IDC\_STAT\_EPISODE\_RECENT\_COUNT^MDC|4|0|||||F  
OBX|322|DTM|738017^MDC\_IDC\_STAT\_EPISODE\_RECENT\_COUNT\_DTM\_START^MDC|4|20120522|||||F  
OBX|323|DTM|738018^MDC\_IDC\_STAT\_EPISODE\_RECENT\_COUNT\_DTM\_END^MDC|4|20120522|||||F  
OBX|324|CWE|737952^MDC\_IDC\_STAT\_EPISODE\_TYPE^MDC|5|754888  
^MDC\_IDC\_ENUM\_EPISODE\_TYPE\_Epis\_Other^MDC|||||F  
OBX|325|CWE|737984^MDC\_IDC\_STAT\_EPISODE\_VENDOR\_TYPE^MDC|5|||||F  
OBX|326|NM|738000^MDC\_IDC\_STAT\_EPISODE\_RECENT\_COUNT^MDC|5|0|||||F  
OBX|327|DTM|738017^MDC\_IDC\_STAT\_EPISODE\_RECENT\_COUNT\_DTM\_START^MDC|5|20120522|||||F  
OBX|328|DTM|738018^MDC\_IDC\_STAT\_EPISODE\_RECENT\_COUNT\_DTM\_END^MDC|5|20120522|||||F  
OBX|329|CWE|737952^MDC\_IDC\_STAT\_EPISODE\_TYPE^MDC|6|754881  
^MDC\_IDC\_ENUM\_EPISODE\_TYPE\_Epis\_VF^MDC|||||F  
OBX|330|CWE|737984^MDC\_IDC\_STAT\_EPISODE\_VENDOR\_TYPE^MDC|6|771073  
^MDC\_IDC\_ENUM\_EPISODE\_VENDOR\_TYPE\_BSX-Epis\_VF^MDC|||||F  
OBX|331|NM|738000^MDC\_IDC\_STAT\_EPISODE\_RECENT\_COUNT^MDC|6|1|||||F  
OBX|332|DTM|738017^MDC\_IDC\_STAT\_EPISODE\_RECENT\_COUNT\_DTM\_START^MDC|6|20120522|||||F  
OBX|333|DTM|738018^MDC\_IDC\_STAT\_EPISODE\_RECENT\_COUNT\_DTM\_END^MDC|6|20120522|||||F  
OBX|334|CWE|737952^MDC\_IDC\_STAT\_EPISODE\_TYPE^MDC|7|754882  
^MDC\_IDC\_ENUM\_EPISODE\_TYPE\_Epis\_VT^MDC|||||F  
OBX|335|CWE|737984^MDC\_IDC\_STAT\_EPISODE\_VENDOR\_TYPE^MDC|7|771074  
^MDC\_IDC\_ENUM\_EPISODE\_VENDOR\_TYPE\_BSX-Epis\_VT^MDC|||||F  
OBX|336|NM|738000^MDC\_IDC\_STAT\_EPISODE\_RECENT\_COUNT^MDC|7|2|||||F  
OBX|337|DTM|738017^MDC\_IDC\_STAT\_EPISODE\_RECENT\_COUNT\_DTM\_START^MDC|7|20120522|||||F  
OBX|338|DTM|738018^MDC\_IDC\_STAT\_EPISODE\_RECENT\_COUNT\_DTM\_END^MDC|7|20120522|||||F  
OBX|339|CWE|737952^MDC\_IDC\_STAT\_EPISODE\_TYPE^MDC|8|754882  
^MDC\_IDC\_ENUM\_EPISODE\_TYPE\_Epis\_VT^MDC|||||F  
OBX|340|CWE|737984^MDC\_IDC\_STAT\_EPISODE\_VENDOR\_TYPE^MDC|8|771075  
^MDC\_IDC\_ENUM\_EPISODE\_VENDOR\_TYPE\_BSX-Epis\_VT-1^MDC|||||F  
OBX|341|NM|738000^MDC\_IDC\_STAT\_EPISODE\_RECENT\_COUNT^MDC|8|3|||||F  
OBX|342|DTM|738017^MDC\_IDC\_STAT\_EPISODE\_RECENT\_COUNT\_DTM\_START^MDC|8|20120522|||||F  
OBX|343|DTM|738018^MDC\_IDC\_STAT\_EPISODE\_RECENT\_COUNT\_DTM\_END^MDC|8|20120522|||||F  
OBX|344|CWE|737952^MDC\_IDC\_STAT\_EPISODE\_TYPE^MDC|9|754884  
^MDC\_IDC\_ENUM\_EPISODE\_TYPE\_Epis\_Monitor^MDC|||||F  
OBX|345|CWE|737984^MDC\_IDC\_STAT\_EPISODE\_VENDOR\_TYPE^MDC|9|||||F  
OBX|346|NM|738000^MDC\_IDC\_STAT\_EPISODE\_RECENT\_COUNT^MDC|9|4|||||F  
OBX|347|DTM|738017^MDC\_IDC\_STAT\_EPISODE\_RECENT\_COUNT\_DTM\_START^MDC|9|20120522|||||F  
OBX|348|DTM|738018^MDC\_IDC\_STAT\_EPISODE\_RECENT\_COUNT\_DTM\_END^MDC|9|20120522|||||F

Остаряла версия. Да не се използва.  
Zastaralá verze. Nepoužívat.  
Forældet version. Må ikke anvendes.  
Version überholt. Nicht verwenden.  
Aegunud versioón. Myn þyn Χρησιμοποιείτε.  
Παλιά έκδοση. Μην την Χρησιμοποιείτε.  
Outdated version. Do not use.  
Version obsoleta. No utilizar.  
Zastarjela verzija. Nemojte upotrebljavati.  
Úreilt útgáfa. Notið ekki.  
Versione obsolete. Non utilizzare.  
Zastarjela verzija. Neizmantot.  
Pasenusi versija. Nenaudokite.  
Elavult verzió. Ne használja!  
Dit is een verouderde versie. Niet gebruiken.  
Wersja przeterminowana. Nie używać.  
Versão expirada. Não utilize.  
Zastaraná verzia. Nepoužívat.  
Zastarela različica. A nu se utiliza.  
Vanhentunut versio. Älä käytä.  
Föråldrad version. Använd ej.  
Güncel olmayan sürüm. Kullanmayın.

Остаряла версия. Да не се използва.  
Zastaralá verze. Nepoužívat.  
Forældet version. Må ikke anvendes.  
Version überholt. Nicht verwenden.  
Aegunud versioön. Myn þyn Χρησιμοποιείτε.  
Παλιά έκδοση. Μην την Χρησιμοποιείτε.  
Outdated version. Do not use.  
Version obsoleta. Ne utilizar.  
Version périmée. Ne pas utiliser.  
Zastarjela verzija. Nemojte upotrebljavati.  
Úrejt útgáfa. Notið ekki.  
Versione obsoleta. Non utilizzare.  
Pasenusi versija. Neizmantot.  
Elavult verzió. Ne használja!  
Wersja przeterminowana. Niet gebruiken.  
Versão expirada. Não utilize.  
Versione expirata. A nu se utiliza.  
Zastaraná verzia. Nepoužívat.  
Zastarela različica. Ne uporabite.  
Vanhentunut versio. Älä käytä.  
Föråldrad version. Använd ej.  
Güncel olmayan sürüm. Kullanmayın.

## VERWENDETE SYMBOLE AUF ETIKETTEN

### ANHANG A

Symbol	Bedeutung
	Hersteller
	Autorisierter Repräsentant in der Europäischen Gemeinschaft
	Adresse des australischen Verantwortlichen

Остаряла версия. Да не се използва.  
 Zastaralá verze. Nepoužívat.  
 Forældet version. Må ikke anvendes.  
 Version überholt. Nicht verwenden.  
 Aegunud versioón. Myn þyn Χρησιμοποιείτε.  
 Παλιά έκδοση. Μην την χρησιμοποιείτε.  
 Outdated version. Do not use.  
 Versión obsoleta. Ne utilizar.  
 Version périmée. Ne pas utiliser.  
 Zastarjela verzija. Nemojte upotrebljavati.  
 Úreлт útgáfa. Notið ekki.  
 Versione obsolete. Non utilizzare.  
 Zastarjela verzija. Neizmantot.  
 Pasenusi versija. Nenaudokite.  
 Elavult verzió. Ne használja!  
 Dit is een verouderde versie. Niet gebruiken.  
 Utdatert versjon. Skal ikke brukes.  
 Wersja przeterminowana. Nie używać.  
 Versão obsoleta. Não utilize.  
 Zastaraná verzia. Nepoužívať.  
 Zastarela različica. A nu se utiliza.  
 Vanhentunut versio. Älä käytä.  
 Föråldrad version. Använd ej.  
 Güncel olmayan sürüm. Kullanmayın.

Остаряла версия. Да не се използва.  
Zastaralá verze. Nepoužívat.  
Forældet version. Må ikke anvendes.  
Version überholt. Nicht verwenden.  
Version obsolete. Mην την χρησιμοποιείτε.  
Αεγονud versioon. Ärge kasutage.  
Παλιά έκδοση. Μην την χρησιμοποιείτε.  
Outdated version. Do not use.  
Version obsoleta. No utilizar.  
Version périmée. Ne pas utiliser.  
Zastarjela verzija. Nemojte upotrebljavati.  
Úreлт útgáfa. Notið ekki.  
Versione obsoleta. Non utilizzare.  
Pasenusi versija. Neizmantot.  
Elavult verzió. Ne használja!  
Wersja przeterminowana. Niet gebruiken.  
Dit is een verouderde versie. Niet gebruiken.  
Utdatert versjon. Skal ikke brukes.  
Versão obsoleta. Não utilize.  
Versiune expirată. A nu se utiliza.  
Zastaraná verzia. Nepoužívat.  
Zastarela različica. Ne uporabite.  
Vanhentunut versio. Älä käytä.  
Föråldrad version. Använd ej.  
Güncel olmayan sürüm. Kullanmayın.

Остаряла версия. Да не се използва.  
Zastaralá verze. Nepoužívát.  
Forældet version. Må ikke anvendes.  
Version überholt. Nicht verwenden.  
Aegunud versioön. Myn þyn Χρησιμοποιείτε.  
Παλιά έκδοση. Μην την Χρησιμοποιείτε.  
Outdated version. Do not use.  
Version obsoleta. No utilizar.  
Zastarjela verzija. Nemojte upotrebljavati.  
Úrelt útgáfa. Notið ekki.  
Versione obsolete. Non utilizzare.  
Zastarjela verzija. Neizmantot.  
Novcojusi versija. Nenaudokite.  
Pasenusi versija. Ne használja!  
Elavult verzió. Ne használja!  
Dit is een verouderde versie. Niet gebruiken.  
Utdatert versjon. Skal ikke brukes.  
Wersja przeterminowana. Nie używać.  
Versão expiratã. A nu se utiliza.  
Zastaraná verzia. Nepoužívát.  
Zastarela različica. Ne uporabite.  
Vanhentunut versio. Älä käytä.  
Föråldrad version. Använd ej.  
Güncel olmayan sürüm. Kullanmayın.

**Manufacturer**

Boston Scientific Corporation  
4100 Hamline Avenue North  
St. Paul, MN 55112-5798 USA

**EC REP****Authorized Representative in the European Community**

Guidant Europe NV/SA; Boston Scientific  
Green Square, Lambroekstraat 5D  
1831 Diegem, Belgium

**AUS****Australian Sponsor Address**

Boston Scientific (Australia) Pty Ltd  
PO Box 332  
BOTANY NSW 1455 Australia  
Free Phone 1 800 676 133  
Free Fax 1 800 836 666

Cardiac Pacemakers Incorporated  
4100 Hamline Avenue North  
St. Paul, MN 55112-5798 USA

[www.bostonscientific.com](http://www.bostonscientific.com)

1.800.CARDIAC (227.3422)

+1.651.582.4000

© 2019 Boston Scientific Corporation or its affiliates.

All rights reserved.

92290289-002 DE Global 2019-11

